



# Interest of lung ultrasound in the management of acute heart failure in post-emergency service

Elena Bel Alonso

## ► To cite this version:

Elena Bel Alonso. Interest of lung ultrasound in the management of acute heart failure in post-emergency service. Human health and pathology. 2022. dumas-04176837

HAL Id: dumas-04176837

<https://dumas.ccsd.cnrs.fr/dumas-04176837>

Submitted on 13 Oct 2023

**HAL** is a multi-disciplinary open access archive for the deposit and dissemination of scientific research documents, whether they are published or not. The documents may come from teaching and research institutions in France or abroad, or from public or private research centers.

L'archive ouverte pluridisciplinaire **HAL**, est destinée au dépôt et à la diffusion de documents scientifiques de niveau recherche, publiés ou non, émanant des établissements d'enseignement et de recherche français ou étrangers, des laboratoires publics ou privés.



## AVERTISSEMENT

Ce document est le fruit d'un long travail approuvé par le jury de soutenance.

La propriété intellectuelle du document reste entièrement celle du ou des auteurs. Les utilisateurs doivent respecter le droit d'auteur selon la législation en vigueur, et sont soumis aux règles habituelles du bon usage, comme pour les publications sur papier : respect des travaux originaux, citation, interdiction du pillage intellectuel, etc.

Il est mis à disposition de toute personne intéressée par l'intermédiaire de [l'archive ouverte DUMAS](#) (Dépôt Universitaire de Mémoires Après Soutenance).

Si vous désirez contacter son ou ses auteurs, nous vous invitons à consulter en ligne les annuaires de l'ordre des médecins, des pharmaciens et des sages-femmes.

Contact à la Bibliothèque universitaire de Médecine Pharmacie de Grenoble :

[bump-theses@univ-grenoble-alpes.fr](mailto:bump-theses@univ-grenoble-alpes.fr)

Année : 2022

**INTÉRÊT DE L'ÉCHOGRAPHIE PLEURO PULMONAIRE DANS LA  
PRISE EN CHARGE DE LA DÉCOMPENSATION CARDIAQUE EN  
POST URGENCE (EPPICA)**

THÈSE  
POUR LE DIPLÔME D'ÉTAT DE DOCTEUR EN MÉDECINE  
SPÉCIALITÉ : MÉDECINE D'URGENCE

Par Mme Elena BEL ALONSO

*[Données à caractère personnel]*

THÈSE SOUTENUE PUBLIQUEMENT À LA FACULTÉ DE MÉDECINE DE GRENOBLE  
Le 13/10/2022

DEVANT LE JURY COMPOSÉ DE :

Président du jury :

M. le Pr Guillaume DEBATY

Membres :

Mme le Dr Perrine DUMANOIR (directrice de thèse)

Mme le Pr Laurence BOUILLET

M. le Dr Damien VIGLINO

Mme le Dr Caroline AUGIER

*L'UFR de Médecine de Grenoble n'entend donner aucune approbation ni improbation aux opinions émises dans les thèses ; ces opinions sont considérées comme propres à leurs auteurs.*

CORPS	NOM Prénom	DISCIPLINE UNIVERSITAIRE
PU-PH	ALBALADEJO Pierre	Anesthésiologie-réanimation et médecine péri-opératoire
PU-PH	ARVIEUX-BARTHÉLÉMY Catherine	Chirurgie viscérale et digestive
PU-PH	BAILLET Athan	Rhumatologie
PU-PH	BARONE-ROCHETTE Gilles	Cardiologie
PU-PH	BAYAT Sam	Physiologie
MCF Ass.MG	BENDAMENE Farouk	Médecine Générale
PU-PH	BENHAMOU Pierre-Yves	Endocrinologie, diabète et maladies métaboliques
PU-PH	BERGER François	Biologie cellulaire
MCU-PH	BÉTRY Cécile	Nutrition
MCU-PH	BIDART-COUTTON Marie	Biologie cellulaire
PU-PH	BIOULAC-ROGIER Stéphanie	Pédopsychiatrie ; addictologie
PU-PH	BLAISE Sophie	Chirurgie vasculaire ; médecine vasculaire
PR Ass. Méd.	BOILLOT Bernard	Urologie
MCU-PH	BOISSET Sandrine	Bactériologie-virologie ; Hygiène hospitalière
PU-PH	BONAZ Bruno	Gastroentérologie ; hépatologie
PU-PH	BONNETERRE Vincent	Médecine et santé au travail
PU-PH	BOREL Anne-Laure	Nutrition
PU-PH	BOSSON Jean-Luc	Biostatistiques, informatique médicale et technologies de communication
MCU-PH	BOTTARI Serge	Biologie cellulaire
PR Ass.MG	BOUCHAUD Jacques	Médecine Générale
PU-PH	BOUGEROL Thierry	Psychiatrie d'adultes
PU-PH	BOUILLET Laurence	Médecine interne ; gériatrie et biologie du vieillissement ; addictologie
MCU-PH	BOUSSAT Bastien	Épidémiologie, économie de la santé et prévention
PU-PH	BOUZAT Pierre	Anesthésiologie-réanimation et médecine péri-opératoire
PU-PH émérite	BRAMBILLA Christian	Pneumologie
PU-PH émérite	BRAMBILLA Elisabeth	Anatomie et cytologie pathologiques
MCU-PH	BRENIER-PINCHART Marie Pierre	Parasitologie et mycologie
PU-PH	BRICAULT Ivan	Radiologie et imagerie médicale
PU-PH	BRICHON Pierre-Yves	Chirurgie thoracique et cardiovasculaire
MCU-PH	BRIOT Raphaël	Thérapeutique-médecine de la douleur ; Addictologie
PU-PH émérite	CAHN Jean-Yves	Hématologie
PU-PH émérite	CARPENTIER Patrick	Chirurgie vasculaire, médecine vasculaire
PR Ass.MG	CARRILLO Yannick	Médecine Générale
MCU-PH	CASPAR Yvan	Bactériologie-virologie ; hygiène hospitalière
PU-PH émérite	CESBRON Jean-Yves	Immunologie
PU-PH	CHABARDÉS Stephan	Neurochirurgie
PU-PH	CHABRE Olivier	Endocrinologie, diabète et maladies métaboliques
PU-PH	CHAFFANJON Philippe	Anatomie
MCF Ass.MG	CHAMBOREDON Benoit	Médecine Générale

CORPS	NOM Prénom	DISCIPLINE UNIVERSITAIRE
PU-PH	CHARLES Julie	Dermato-vénérologie
MCF Ass.MG	CHAUVET Marion	Médecine Générale
PU-PH	CHAVANON Olivier	Chirurgie thoracique et cardiovasculaire
MCU-PH	CHEVALLIER Marie	Pédiatrie
PU-PH	CHIQUET Christophe	Ophthalmologie
PU-PH	CHIRICA Mircea	Chirurgie viscérale et digestive
PU-PH	CINQUIN Philippe	Biostatistiques, informatique médicale et technologies de communication
MCU-PH	CLAVARINO Giovanna	Immunologie
MCU-PH	CLIN CHERPEC Rita	Nutrition
PU-PH	COHEN Olivier	Histologie, embryologie et cytogénétique
PU-PH	COURVOISIER Aurélien	Chirurgie infantile
PU-PH	COUTTON Charles	Génétique
PU-PH	COUTURIER Pascal	Médecine interne ; gériatrie et biologie du vieillissement ; addictologie
PU-PH	CRACOWSKI Jean-Luc	Pharmacologie fondamentale ; pharmacologie clinique ; addictologie
PU-PH	DEBATY Guillaume	Médecine d'Urgence
PU-PH	DEBILLON Thierry	Pédiatrie
PU-PH	DECAENS Thomas	Gastroentérologie ; hépatologie ; addictologie
PR Ass. Méd.	DEFAYE Pascal	Cardiologie
PU-PH	DEGANO Bruno	Pneumologie ; addictologie
PU-PH	DEMATTES Maurice	Pharmacologie fondamentale ; pharmacologie clinique ; addictologie
PU-PH émérite	DEMONGEOT Jacques	Biostatistiques, informatique médicale et technologies de communication
MCU-PH	DERANSART Colin	Physiologie
PU-PH	DESCOTES Jean-Luc	Urologie
PU-PH	DETANTE Olivier	Neurologie
MCU-PH	DIETERICH Klaus	Génétique
MCU-PH	DOUTRELEAU Stéphane	Physiologie
PU-PH	DUMESTRE PÉRARD Chantal	Immunologie
PU-PH	ÉPAULARD Olivier	Maladies infectieuses ; Maladies tropicales
MCU-PH	EVAIN Jean-Noël	Anesthésiologie-réanimation et médecine périopératoire
MCU-PH	EYSSERIC Hélène	Médecine légale et droit de la santé
PU-PH émérite	FAGRET Daniel	Biophysique et médecine nucléaire
PU-PH	FAUCHERON Jean-Luc	Chirurgie viscérale et digestive
PU-PH	FAURE Julien	Biochimie et biologie moléculaire
PU-PH	FERRETTI Gilbert	Radiologie et imagerie médicale
PU-PH	FIARD Gaëlle	Urologie
PU-PH	FONTAINE Éric	Nutrition
PU-PH émérite	FRANÇOIS Patrice	Épidémiologie, économie de la santé et prévention
PR Ass. Méd.	FREY Gil	Chirurgie thoracique et cardiovasculaire
MCU-MG	GABOREAU Yoann	Médecine Générale
PU-PH	GARBAR Frédéric	Hématologie ; Transfusion
PU-PH	GAUDIN Philippe	Rhumatologie
MCU-PH	GAUTIER-VEYRET Elodie	Pharmacologie fondamentale ; pharmacologie clinique ; addictologie
PU-PH	GAVAZZI Gaétan	Médecine interne ; gériatrie et biologie du vieillissement ; addictologie

CORPS	NOM Prénom	DISCIPLINE UNIVERSITAIRE
PU-PH	GAY Emmanuel	Neurochirurgie
MCU-PH	GIAI Joris	Biostatistiques, informatique médicale et technologies de communication
MCU-PH	GILLOIS Pierre	Biostatistiques, informatique médicale et technologies de communication
PU-PH	GIOT Jean-Philippe	Chirurgie plastique, reconstructrice et esthétique ; Brûlologie
MCU-PH	GRAND Sylvie	Radiologie et imagerie médicale
PU-PH émérite	GRIFFET Jacques	Chirurgie infantile
PU-PH	HAINAUT Pierre	Biochimie et biologie moléculaire
PU-PH	HENNEBICQ Sylviane	Biologie et médecine du développement et de la reproduction ; gynécologie médicale
PU-PH	HOFFMANN Pascale	Gynécologie-obstétrique ; gynécologie médicale
PU-PH émérite	HOMMEL Marc	Neurologie
PU-MG	IMBERT Patrick	Médecine Générale
PU-PH émérite	JOUK Pierre-Simon	Génétique
PU-PH	KAHANE Philippe	Physiologie
PU-PH	KASTLER Adrian	Radiologie et imagerie médicale
MCU-PH	KHERRAF Zine-Eddine	Biologie et médecine du développement et de la reproduction ; gynécologie médicale
PU-PH	KRAINIK Alexandre	Radiologie et imagerie médicale
PU-PH	LABARÈRE José	Épidémiologie, économie de la santé et prévention
PU-PH	LABLANCHE (CORNALI) Sandrine	Endocrinologie, diabète et maladies métaboliques
PU-PH	LANDELLE Caroline	Bactériologie – virologie ; Hygiène hospitalière
PU-PH	LANTUEJOUL Sylvie	Anatomie et cytologie pathologiques
PR Ass. Méd.	LARAMAS Mathieu	Cancérologie ; radiothérapie
MCU-PH	LARDY Bernard	Biochimie et biologie moléculaire
PU-PH	LAURENT-COSTENTIN Charlotte	Gastroentérologie ; hépatologie ; addictologie
MCU-PH	LE GOUËLLEC LE PISSART Audrey	Biochimie et biologie moléculaire
MCU-PH	LE MARÉCHAL Marion	Maladies infectieuses ; maladies tropicales
PU-PH	LECCIA Marie-Thérèse	Dermato-vénéréologie
PR Ass.MG	LEDOUX Jean-Nicolas	Médecine Générale
PU-PH émérite	LÉTOUBLON Christian	Chirurgie viscérale et digestive
PU-PH émérite	LÉVY Patrick	Physiologie
PU-PH	LONG Jean-Alexandre	Urologie
MCU-PH	Lupo Julien	Bactériologie-virologie ; Hygiène hospitalière
PU-PH	MAÎTRE Anne	Médecine et santé au travail
MCU-PH	MARLU Raphaël	Hématologie ; Transfusion
PR Ass. Méd.	MATHIEU Nicolas	Gastroentérologie ; hépatologie ; addictologie
MCU-PH	MAUBON Danièle	Parasitologie et mycologie
PU-PH	MAURIN Max	Bactériologie-virologie ; Hygiène hospitalière
MCU-PH	MC LEER Anne	Histologie, embryologie et cytogénétique
MCU-PH	MEONI Sara	Neurologie
PR Ass. Méd.	MICHY Thierry	Gynécologie-obstétrique
MCU-PH	MONDET Julie	Histologie, embryologie et cytogénétique
PU-PH	MORAND Patrice	Bactériologie-virologie ; Hygiène hospitalière
PU-PH	MOREAU-GAUDRY Alexandre	Biostatistiques, informatique médicale et technologies de communication
PU-PH	MORO Elena	Neurologie

CORPS	NOM Prénom	DISCIPLINE UNIVERSITAIRE
PU-PH	MORO-SIBILOT Denis	Pneumologie ; addictologie
MCU-PH	MORTAMET Guillaume	Pédiatrie
PU-PH émérite	MOUSSEAU Mireille	Cancérologie ; radiothérapie
PU-PH émérite	MOUTET François	Chirurgie plastique, reconstructrice et esthétique ; brûlologie
PR Ass.MG	ODDOU Christel	Médecine Générale
PR Ass. Méd.	ORMEZZANO Olivier	Cardiologie
MCU-PH	PACLET Marie-Hélène	Biochimie et biologie moléculaire
PU-PH	PAILHÉ Régis	Chirurgie orthopédique et traumatologie
PU-PH	PALOMBI Olivier	Anatomie
PU-PH	PARK Sophie	Hématologie ; Transfusion
PR Ass.MG	PAUMIER-DESBRRIÈRES Françoise	Médecine Générale
PU-PH	PAYEN DE LA GARANDERIE Jean-François	Anesthésiologie-réanimation et médecine péri-opératoire
MCU-PH	PAYSANT François	Médecine légale et droit de la santé
MCU-PH	PELLETIER Laurent	Biologie cellulaire
PU-PH	PELLOUX Hervé	Parasitologie et mycologie
PU-PH	PÉPIN Jean-Louis	Physiologie
PU-PH	PÉRENNOU Dominique	Médecine physique et de réadaptation
PU-PH	PERNOD Gilles	Chirurgie vasculaire ; Médecine vasculaire
MCF	PINSAULT Nicolas	Sciences de la rééducation et de réadaptation
PU-PH	PIOLAT Christian	Chirurgie infantile
PU-PH émérite	PISON Christophe	Pneumologie ; Addictologie
PU-PH	PLANTAZ Dominique	Pédiatrie
PU-PH	POIGNARD Pascal	Bactériologie-virologie ; Hygiène hospitalière
PU-PH émérite	POLACK Benoit	Hématologie ; Transfusion
PU-PH	POLOSAN Mircea	Psychiatrie d'adultes ; Addictologie
PU-PH émérite	RAMBEAUD Jean-Jacques	Urologie
PU-PH	RAY Pierre	Biologie et médecine du développement et de la reproduction ; gynécologie médicale
PR Ass. Méd.	RECHE Fabian	Chirurgie viscérale et digestive
MCU-PH	RENDU John	Biochimie et biologie moléculaire
MCU-PH émérite	RIALLE Vincent	Biostatistiques, informatique médicale et technologies de communication
PU-PH	RIETHMULLER Didier	Gynécologie-obstétrique ; gynécologie médicale
PU-PH	RIGHINI Christian	Oto-rhino-laryngologie
PU-PH émérite	ROMANET Jean Paul	Ophthalmologie
PU-PH	ROSTAING Lionel	Néphrologie
PU-PH	ROUSTIT Matthieu	Pharmacologie fondamentale ; pharmacologie clinique ; addictologie
MCU-PH	ROUX-BUISSON Nathalie	Biochimie et biologie moléculaire
PR Ass.MG	ROYER DE VÉRICOURT Guillaume	Médecine Générale
PU-PH émérite	SARAGAGLIA Dominique	Chirurgie orthopédique et traumatologie
MCU-PH	SATRE Véronique	Génétique
PU-PH	SAUDOU Frédéric	Biologie cellulaire
PU-PH	SCHMERBER Sébastien	Oto-rhino-laryngologie
PU-PH	SCHWEBEL Carole	Médecine intensive-réanimation
PU-PH	SCOLAN Virginie	Médecine légale et droit de la santé

CORPS	NOM Prénom	DISCIPLINE UNIVERSITAIRE
PU-PH	SEIGNEURIN Arnaud	Épidémiologie, économie de la santé et prévention
PU-PH	SPEAR Rafaëlle	Chirurgie vasculaire ; médecine vasculaire
PU-PH émérite	STAHL Jean-Paul	Maladies infectieuses ; Maladies tropicales
PU-PH	STANKE Françoise	Pharmacologie fondamentale ; pharmacologie clinique ; addictologie
MCU-PH	STASIA Marie-José	Biochimie et biologie moléculaire
PU-PH	STURM Nathalie	Anatomie et cytologie pathologiques
PU-PH	TAMISIER Renaud	Physiologie
PU-PH	THEVENON Julien	Génétique
PU-PH	TOFFART Anne-Claire	Pneumologie ; Addictologie
PU-PH	TONETTI Jérôme	Chirurgie orthopédique et traumatologie
PU-PH	TOUSSAINT Bertrand	Biochimie et biologie moléculaire
PU-PH	VALMARY-DEGANO Séverine	Anatomie et cytologie pathologiques
PU-PH	VANZETTO Gérald	Cardiologie
PU-PH	VIGLINO Damien	Médecine d'urgence
PU-PH	VUILLEZ Jean-Philippe	Biophysique et médecine nucléaire
PU-PH	WEIL Georges	Épidémiologie, économie de la santé et prévention
PU-PH	ZAOUI Philippe	Néphrologie
PU-PH émérite	ZARSKI Jean-Pierre	Gastroentérologie ; hépatologie ; addictologie

PU-PH Professeur des universités - Praticien hospitalier  
 MCU-PH Maître de conférences des universités - Praticien hospitalier  
 PU-PH émérite\* Professeur des universités - Praticien hospitalier émérite  
 MCU-PH émérite\* Maître de conférences des universités - Praticien hospitalier émérite  
 PU-MG Professeur des universités de médecine générale  
 MCU-MG Maître de conférences des universités de médecine générale  
 MCF Maître de conférences des universités  
 PR Ass. Med. Professeur des universités associé (à mi-temps)  
 PR Ass. MG Professeur des universités de médecine générale associé (à mi-temps)  
 MCF Ass.MG Maître de conférences des universités de médecine générale associé (à mi-temps)

## TABLE DES MATIÈRES

REMERCIEMENTS .....	8
RÉSUMÉ.....	12
ABSTRACT .....	13
INTRODUCTION.....	15
MATERIAL AND METHODS .....	17
RESULTS.....	24
DISCUSSION .....	32
CONCLUSION .....	39
REFERENCES.....	41
APPENDICES.....	44

## **REMERCIEMENTS**

Au Dr Perrine Dumanoir, un immense merci pour tout le travail et le temps que tu as consacré à ce projet. D'une disponibilité sans faille, tu as été d'un grand soutien et une aide précieuse. Sans toi ça n'aurait pas été possible.

Au Pr Guillaume Debaty, vous me faites l'honneur de présider ce jury, et je vous en remercie sincèrement.

Au Pr Damien Viglino, je te remercie d'avoir accepté de juger ce travail. Mais aussi pour ton investissement dans l'accompagnement et l'encadrement du DES.

Au Pr Laurence Bouillet, je vous remercie de me faire l'honneur de faire partie de mon jury.

Au Dr Caroline Augier, je vous remercie de me faire l'honneur de juger ce travail. J'espère qu'il saura susciter votre intérêt.

Au Dr Alexandre Bellier, un immense merci d'avoir travaillé et retravaillé ces données. Les statistiques sont un casse-tête pour moi et vous avez été patient, bienveillant et d'une aide précieuse.

A tous ceux qui m'ont accompagné avant et pendant ces 10 années de médecine.

A mes chefs rencontrés tout au long de mes études, quelle que soit votre spécialité, merci pour votre bienveillance, j'ai beaucoup appris à vos côtés. Malgré les conditions de travail parfois difficiles, vous avez su me transmettre votre passion pour ce métier.

A **Alice** et **Camille**, merci de m'avoir confié la suite de votre travail. Vous avez été toujours disponibles et prêtes à m'aider. J'espère avoir été à la hauteur de vos attentes.

A mes premiers co-internes de Médecine B. **Cédric**, pour ton énorme soutien dans les premières galères. **Camille**, ma star de la montagne, toujours à faire deux milles choses, tu m'impressionnes.

A la team de pédiatrie, pour m'avoir fait aimer ce monde de constipations, viroses ORL et pleurs inexpliqués. En particulier **Alexis**, **Antoine** et **Tiphaine**, vous êtes une bande de tarés !

A la team cardio-neruo-Speculoos, j'espère qu'on continuera pendant longtemps à se donner rendez-vous à Magic Nouilles. **Sarah**, ma neurologue préférée, j'aimerais avoir ta patience et ta détermination. **Pauline**, toujours de bon conseil, on peut toujours compter sur toi.

**Alejandro**, eres una persona maravillosa, hâte d'être ta groupie à la fête de la guimbarde. **Ami** ton rire donne toujours du baume au cœur, j'espère qu'on se fixera des objectifs de plus en plus fous.

A mes co-internes de réanimation, **Juju**, **Adrien**, **Laura**, **Manon**, **Maxence**, merci d'avoir essayé de m'expliquer la dialyse, pourquoi l'ECMO ne tourne pas et ce qu'est la PIC et la PtiO<sub>2</sub>. **Apo**, parfois « c'est le cœur ». A fost o plăcere să lucrez cu dumneavoastră (nous chercherez ce que ça veut dire, c'est du moldave).

A la promotion Barre des Ecrins, **Jérémy, Pierrick, Anne-Claire, Blaise, Amaury, Léa, Justine, Camille<sup>2</sup>, Marion<sup>2</sup>, et Vaea**, pour ces formations et bon moments partagés au cours de l'internat.

A mes collocs Anneciens, chacun unique. **Olivier et Laurianne**, Olivianne et Laurier, vous êtes humbles, rigolos et tout simplement incroyables. Aux deux parasites, vous avez tellement squatté à la colloc que je ne pouvais pas vous citer ailleurs : **Boullouz**, ça ne me dérangera jamais que tu me réveilles à 3h du matin pour bitcher ou juste pour m'embêter ; **Grég**, ma bouée de secours ces derniers mois, mille merci. **Marine**, toujours positive, ton talent pour Excel m'impressionne, t'as été une très belle découverte. **Guillaume**, bien qu'on se voit pas toujours d'accord t'es une belle personne.

A la promotion 2014-2019 nîmoise, vous avez été la meilleure promo dont j'aurais pu rêver. Je vous souhaite plein d'épanouissements personnels et professionnels. Quelques petits mots pour toi, **Lionel**, mon co-équipier pendant 5 ans, avec toi j'ai grandi, j'ai appris et je suis devenue une meilleure personne, de notre histoire je ne garderais que la lumière. Merci.

Au nîmois partis à la montagne, j'espère que le soleil ne vous manque pas trop. **Matthieu<sup>2</sup>, Seb, Réda, Alex** c'est toujours un plaisir de vous croiser à l'hosto, dans la rue, à une soirée ou autour d'un verre.

Aux Ragocytes, c'est sur un fond de *Lean On* que je vous dit que vous êtes, chacune à votre manière, des exemples pour moi. Merci d'être toujours là. **Hannah**, mon coup de cœur de la P2 et ma première copine nîmoise, t'es patiente, minutieuse et une personne extraordinaire. **Calypso**, l'aventurière de la bande, forte et courageuse, que personne ne te dise jamais ce que tu veux ou tu ne peux pas faire parce que t'es capable de tout. **Marie**, ma co-externe et parasite de voiture préférée, tu brillas là où tu passes. **Jessica**, notre instagrameuse, toujours bonne conseillère, m'arrête jamais de faire des blagues à deux balles parce qu'elle font rire même

quand on a envie de pleurer. **Marion**, que te dire ma petite Ion-Ion ? on se connaît tellement bien qu'on se comprend sans se parler. Merci de prendre soin de moi même quand je ne veux pas.

A mis amigos de la infancia y del instituto que siguen siendo importantes en mi vida. **Bea**, dulce y luchadora, aunque no nos veamos a menudo y se nos olvide respondernos a los mensajes, sé que puedo contar contigo. Siempre estaré ahí para ti. **Maria**, gracias por sacarme de mi mundo de médicos y hospitales, nuestros “rendez vous” en Grenoble son un soplo de aire fresco. **Miguel**, no hubiera pensado que después de tantos años seguiríamos en contacto pero me parece maravilloso.

A mi familia y en especial a **María**, mi compañera de negocios infantiles, travesuras y aventuras, aunque nuestros caminos se hayan separado todavía nos quedan mil cosas por compartir.

A mis abuelos, os imagino orgullosos de mí allá donde estéis. **Lucia** y **Miguel**, por las semanas fantásticas, las excursiones a Toys'r'Us, los paseos en tractor y todas las cosas que me enseñasteis. **Mauri** y **Antonio**, por las comidas de los sábado, la piscina en verano, la propina, las espadas de madera y por ser un ejemplo para mí.

A mi hermano, **Andrés**, eres paciente y cariñosos, gracias por tu apoyo todos estos años y por creer en mí. **Raphaelle**, hâte de te découvrir un peu plus.

Y para acabar, todo esto os lo debo a vosotros, **Papa**, **Mama**, sois mi superpoder secreto. Por todo el amor que nos habéis dado a Andrés y a mí, y los valores que nos habéis inculcado, de mayor quiero ser como vosotros.

## RÉSUMÉ

### *Introduction*

La congestion pulmonaire est un facteur pronostique majeur dans l'insuffisance cardiaque aigue et donc une cible thérapeutique importante. L'échographie pleuropulmonaire s'est imposée dans la dernière décennie comme une méthode simple, rapide et non invasive dans l'évaluation dynamique de la surcharge pulmonaire au lit du patient. L'objectif de cette étude est de corrélérer les données échographiques, la posologie de diurétiques administrée, et l'évolution clinico-biologique des patients en service de médecine polyvalente.

### *Matériel et méthodes*

Dans cette étude prospective, 42 patients admis pour insuffisance cardiaque aigue dans le service de médecine interne du Centre Hospitalier Universitaire Grenoble Alpes ont été successivement inclus entre mai 2021 et juillet 2022. L'échographie pleuropulmonaire, l'examen clinique et la biologie sont recueillis quotidiennement. Le statut vital est recueilli 30 jours après la dernière échographie. Le critère de jugement principal étant l'évolution du nombre de lignes B en échographie pleuropulmonaire en fonction de l'évolution des doses de diurétiques, nous réaliserons un modèle de régression JoinPoint, suivi d'une analyse des tendances temporelles sur l'évolution des lignes B et des doses de diurétiques.

### *Résultats*

On observe une tendance à la baisse des lignes B qui est plus importante en début d'hospitalisation et qui stagne dans le dernier quart de celle-ci. La tendance est similaire pour la dose de diurétique administrée sans que les deux soient corrélés. La mortalité à 30 jours est quant à elle liée de façon significative au nombre de lignes B à la sortie ( $p < 0.001$ ). L'échographie pleuropulmonaire pourrait permettre l'optimisation de la décongestion dans les derniers jours de la prise en charge et l'amélioration du pronostic à 30 jours.

### *Conclusion*

L'absence de gold standard dans l'évaluation quantitative de la surcharge au cours d'un épisode d'insuffisance cardiaque aigue est un problème dont l'échographie pleuropulmonaire pourrait apporter une solution. Une étude interventionnelle est nécessaire afin d'évaluer l'intérêt d'une prise en charge thérapeutique échoguidée.

**MOTS CLES :** Insuffisance cardiaque aigue, Congestion pulmonaire, Echographie pleuropulmonaire, Diurétiques, Médecine interne

FILIÈRE : Médecine

## ABSTRACT

### **INTEREST OF LUNG ULTRASOUND IN THE MANAGEMENT OF ACUTE HEART FAILURE IN POST-EMERGENCY SERVICE**

#### *Introduction*

Pulmonary congestion is a major prognostic factor in acute heart failure and therefore an important therapeutic target. Lung ultrasound has emerged in the last decade as an easy-to-use, rapid and non-invasive method for the dynamic assessment of pulmonary congestion at the patient's bedside. The aim of this study is to correlate ultrasound data, diuretic dosage administered, clinical and biological evolution of patients in a multidisciplinary medical ward.

#### *Material and Methods*

In this prospective study, 42 patients admitted for acute heart failure in the internal medicine department of the Grenoble Alpes University Hospital were successively included between May 2021 and July 2022. Pleuropulmonary ultrasound, clinical examination and biology were collected daily. Vital status was collected 30 days after the last lung ultrasound. As the primary endpoint is the evolution of the number of B-lines in pleuropulmonary ultrasound according to the evolution of diuretic doses, we will perform a JoinPoint regression model, followed by a time trend analysis of the evolution of B-lines and diuretic doses.

#### *Results*

There is a downward trend in B-lines, which is greater at the beginning of the hospitalization and stagnates in the last quarter of the stay. The trend is similar for the dose of diuretic administered without the two being correlated. 30-day mortality was significantly related to the number of B-lines at discharge ( $p<0.001$ ). Lung ultrasound could optimize decongestion in the last days of management and improve the 30-day prognosis.

#### *Conclusion*

The lack of a gold standard in the quantitative assessment of cardiac overload during an episode of acute heart failure is a problem for which lung ultrasound could provide a solution. An interventional trial is needed to assess the value of ultrasound-guided therapeutic management.

**KEY WORDS :** Acute heart failure ; Pulmonary congestion ; Lung ultrasound ; Internal medicine department

## **ABREVIATIONS**

AHF : Acute Heart Failure

AKI : Acute Kidney Injury

ARDS : Acute Respiratory Distress Syndrome

CCI : Charlson Comorbidity Index

CKD : Chronic Kidney Disease

ED : Emergency Department

EF : Ejection Fraction

GFR : Glomerular Filtration Rate

HFrEF : Heart Failure Reduced Ejection Fraction

HEpEF : Heart Failure Preserved Ejection Fraction

HR : Hazard Ratio

LUS : Lung ultrasound

---

EEPICA : Echographie pleuropulmonaire dans l'insuffisance cardiaque aigue

## INTRODUCTION

Heart failure is a major public health problem. In France, this frequent and growing pathology affects 2.3% of the adult population and is responsible for 70,000 deaths per year. Acute heart failure (AHF) is one of the leading cause of hospitalization in patients over 65 years old, which are often long and expensive (1).

Pulmonary congestion appears as a major prognostic factor in AHF (2,3), and therefore represents an important therapeutic target (4). However, it is poorly evaluated by the usual methods used in the medical ward : clinical evaluation including crackles and lower limb oedema, is not very sensitive for the detection of pulmonary congestion (5) even by experienced physicians. Moreover, pulmonary auscultation is poorly reproducible between different physicians. However, these clinical data represent the usual patient monitoring and are used to adapt diuretic therapy. This evaluation based on clinical signs and biology, is not standardized, and studies are currently undergoing to protocolize this care, such as the CARESS protocol within the PRODUCT HF study (6).

In intensive care units, different methods have shown its interest in monitoring pulmonary congestion, some of them invasive as thermodilution methodology and others non-invasive as cardiac ultrasound associated with lung ultrasound (LUS) (7). However, a large proportion of patients hospitalized for acute heart failure are not admitted to specialized units.

LUS is an easy-to-use, rapid, reproducible and non-invasive method that offers bedside evaluation of pulmonary congestion status (8). Minimum training is required and reproducible results are obtained after 30 minutes to 1 hour of practice (9). B-line or comet tail is an ultrasound artefact, a vertical hyperechogenic line starting from the pleural line, not fading, and

moving synchronously with the lung sliding. It reflect the presence of engorged interlobular septa, an area where air is in close contact with water, air content decreases and lung density increase because of their difference in acoustic impedance. The number of B-lines increases with the reduction in air content. They are correlated with the presence of an alveolar-interstitial syndrome, with a sensitivity and a specificity of 93% (10,11). Pleural effusion is another common finding in AHF, that can be also easily diagnosed by LUS.

The interest of LUS is already proven for the diagnosis of AHF, especially in patients admitted for acute dyspnoea in the emergency department (ED) (9–11). Moreover, LUS allows dynamic monitoring in pulmonary congestion because diuretic administration is followed by a rapid decrease in the number of B-lines (12). Monitoring of B-lines, a tool available for physicians, could be interesting to monitor pulmonary congestion and to adjust treatment for patients with acute heart failure.

It seems interesting to evaluate the relevance of lung ultrasound combined with the use of clinical and biological protocol to adapt diuretics in acute heart failure. Optimizing diuretic therapy could allow a decrease in adverse effects and in hospitalization time improving the patient's prognosis.

In this prospective observational study, we will correlate the B-lines evolution to diuretic posology and clinic and biologic signs of pulmonary congestion in patients admitted with cardiac heart failure in a polyvalent medicine unit where most of the patients come from the ED. We also evaluate the reliability and the feasibility of a daily LUS in a medicine ward.

## MATERIAL AND METHODS

### Study design

EPPICA is a single-centre prospective cohort study, conducted in the internal medicine department of Grenoble Alpes University Hospital.

The internal medicine department is partly dedicated to patients that need urgent hospitalization, directly from the ED of the Grenoble Alpes University Hospital. It takes care patients with any type of medical pathologies, usually with a short hospitalization time (mean stay is around five days). They can leave the service to return home or be transferred to another specialized ward if needed.

Senior doctors working in this department are emergency physicians, general practitioners, geriatrics and internists.

### Population

All patients admitted in internal medicine department between May the 18<sup>th</sup> of 2021 and July the 15<sup>th</sup> of 2022 are successively screened for inclusion in the study. Patients are eligible if they are over 18 years-old and present an acute heart failure at admission. Diagnosis is assessed by two senior physicians, according to international guidelines diagnosis criteria of the European Society of Cardiology (13). Patients with haemodialysis, pneumonectomy, lung fibrosis and patients under guardianship or deprived of freedom are excluded.

### Heart failure treatment and protocol

Patients are treated for AHF according to usual practices and with the help of a protocol created by the cardiologists of the Grenoble Alpes University Hospital that summarize the guidelines of the European Society of Cardiology (Appendix 1). It has been used for a few months before the start of the study and senior and junior physicians were encouraged to follow it. However, adaptation of diuretic posology were left to their discretion.

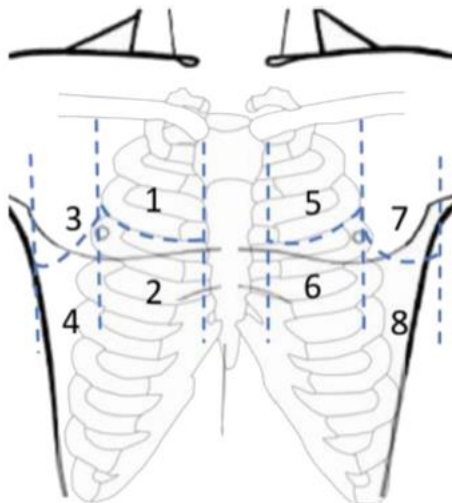
### Lung Ultrasound protocol

For each patient, LUS is performed at admission and daily by a senior physician from the department, who is not in charge of the patient and blinded to clinical and biological findings.

Patients are installed in a 30° supine position with adjustable beds, to perform an eight zone LUS at bedside. They should be in the same position during all of the follow-up ultrasound because the number of B-line may be influenced by patient position (8,14). Inspired by the BLUE-protocol of Lichtenstein (11,15) and according to the expert consensus document (16), four points on each hemithorax are analyzed : two anterior points, between the sternum and the anterior axillary line, one under the clavicle and one under the nipple ; and two lateral points between the anterior and the posterior axillary line, one superior and one inferior.

For each area the number of B-lines are counted and the presence of pleural effusion is registered. Results are reported on a paper form (Appendix 2), completed by the physician for each exam, and kept sealed.

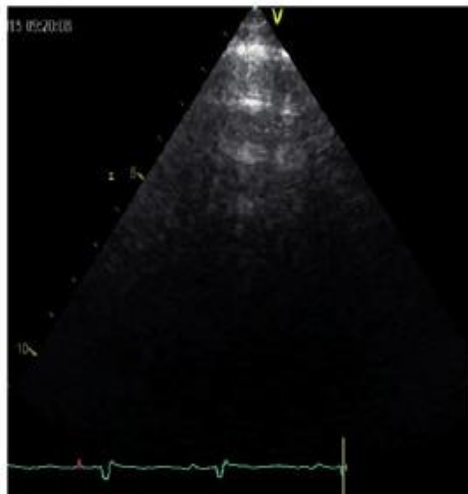
GE Healthcare Vivid T8 echograph device is used, with a 3.5-5 MHz phased array transducer at an imaging depth of four to six centimetres.



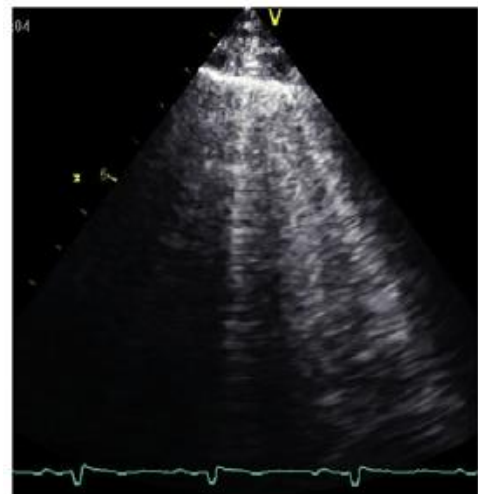
**8-zones LUS (17)**



**Pulmonary effusion in LUS (17)**



**Normal LUS (9)**



**Multiple B-lines in LUS (9)**

Doctors performing LUS received special training before starting inclusion. Most of them already had an echography certification and others followed a theoretical and practical course before starting the inclusions.

AHF therapy is not guided by the results of LUS as the physician implied in the patient's care is blinded from the results.

### Follow-up / Data collection

Medical information about the patient's status is recorded at admission, and every day by physicians in charge of the patient (Appendix 3) in a nominative data collection notebook (Appendix 4).

Demographic variables (age, sex), past medical history and comorbidities (Modified Charlson score), usual treatments, heart failure characteristics (aetiology, left ventricular ejection fraction), physical examination and clinical variables (height, weight, vital signs, heart failure signs and symptoms), electrocardiogram, chest radiography and biological variables (hemogram, electrolyte panel and renal function, martial assessment, liver function test, natriuretic peptides, troponin, and nutritional status) are recorded at admission.

Every day including the discharge day, clinical signs and symptoms of heart failure, vital parameters, diuretic treatment administered and electrolyte panel if available are recorded (Appendix 5).

On the day of discharge, a few items are collected to assess the compliance to the service protocol. Such as the triggering factor of cardiac decompensation, iron supplementation during hospitalization, nutritional and kinetic assessment, and planned follow-up (biological and medical). Patients remaining in hospital after resolution of AFH for a social or secondary medical issue are considered discharged after 48 hours of stable diuretic treatment or return to baseline posology.

Vital status and possible rehospitalization are enquired 30 days after the last LUS by review of hospital medical record and phone call to the patient, his family or his attending physician.

*Study outcomes:*

The primary endpoint examined is the number of B-line in LUS measured daily, compared to the evolution of diuretic doses.

Many secondary outcomes are assessed : the evolution of the number of B-lines according to clinical signs of cardiac overload (crackles and lower limbs oedemas) and the agreement between them at the hospital discharge ; the evolution of the number of B-lines according to plasmatic creatinine level and the prognostic value of LUS discharge to predict readmission for AHF and mortality at 30 days.

We also aim to assess the feasibility of daily monitoring during working days of LUS in a medical ward as well as the interobserver reproducibility of results between different physicians by performing LUS on the same group of patients, on the same day, by two doctors.

*Statistical analysis*

We calculated that with a sample size of 42, a two-sided 95% confidence interval for a single mean will extend one from the observed mean, assuming that the standard deviation is known to be 3,28 and the confidence interval is based on the large sample z statistic.

To perform the statistical analysis, we divide the duration of follow-up in hospitalization for each patient in four parts in which 100% is the total time of hospitalization.

A descriptive statistical analysis will be done on the baseline characteristics of the population. Continuous variables are reported as median (interquartile range [IQR]) or mean

value (standard deviation [SD]), as appropriate. Categorical variables are expressed as percentage (%).

In the analysis of the primary endpoint, we will first use a Join Point regression model describing B-lines and diuretics posology. Then, a temporal tendency analysis will be performed on the evolution of the number of B-lines and posology of diuretics. A linear regression model will be used to model linear tendency, and to compare tendencies according to time of hospitalization threshold defined as 0% (admission), 25%, 50%, 75% et 100% (discharge). Adjustment on the age of the patients will be done.

The assessment of evolution of the number of B-lines according to clinical signs of cardiac overload, the relationship between B-lines and crackles at discharge and the evolution of B-lines count according to plasmatic creatinine level, will be performed with same analysis as the primary endpoint.

The prognostic value of LUS discharge to predict readmission or all-causes mortality at 30 days will be analyzed by a linear regression model.

For the reproducibility study, we will perform a test to calculate a correlation coefficient : an intraclass correlation coefficient for the quantitative variable (B-lines) and a Kappa coefficient for the qualitative variable (pleural effusion).

Statistical significance was set at  $p < 0.05$ . And all analysis will be performed using the programs RStudio (Version 2022.07.1, PBC, Boston, MA) and Jamovi (Version 2.3.13.0, Sydney, Australia).

### *Ethical aspects*

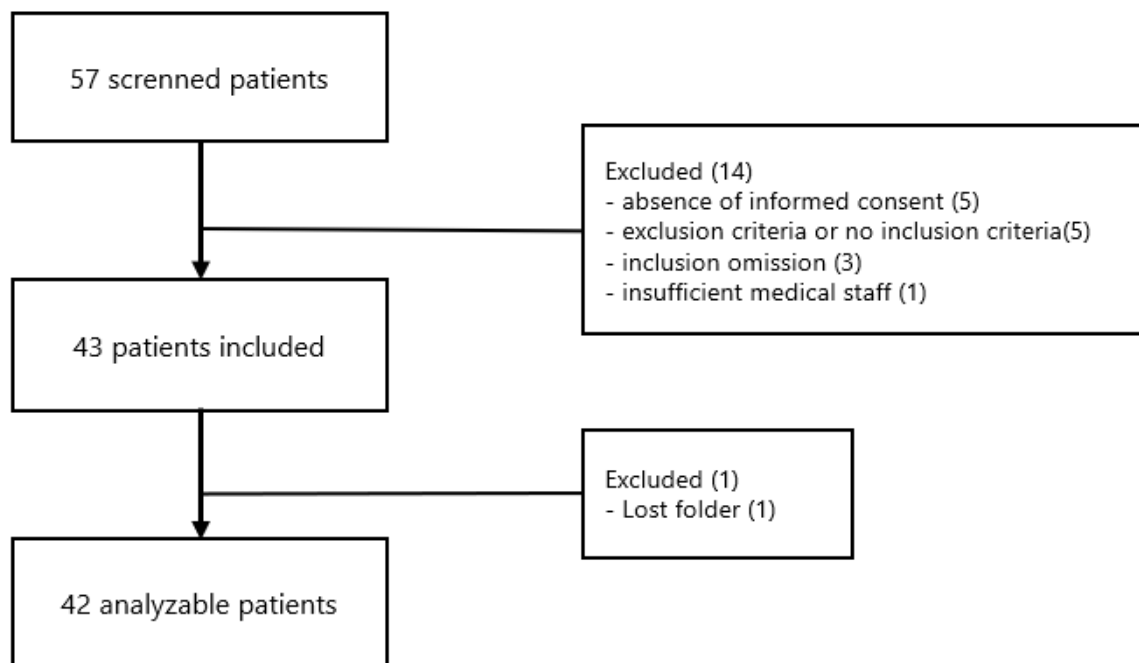
The study protocol and its review were approved by an institution review board (Comité de Protection des Personnes Est III), on November the 4<sup>th</sup> of 2020 (Appendix 6) and on March the 3<sup>rd</sup> of 2022 (Appendix 7) respectively. This study was conducted in accordance with the principles of the Declaration of Helsinki.

Patients received oral and written information about the nature of the study, its objectives and expected advantage. Their non-opposition was recorded by one of the senior doctors implied in the research project, according with the French law for observational study with usual care. If patients were unable to decide for themselves, consent from the support person was collected.

## RESULTS

### General characteristics

From May 25<sup>th</sup> 2021 to July 14<sup>th</sup> 2022, 57 patients hospitalized for AHF were screened and 43 were included in the study. Finally, 42 patients analyzed due to the loss of a file (Figure 1). No patients were lost for follow-up.



**Figure 1. Flow chart**

The population was elderly (average age,  $85.8 \pm 8.2$  years), mainly masculine (61.9%) and polypathological (Charlson Comorbidity Index  $8.5 \pm 2.3$ ). 73.8% of patients had a known heart disease and the daily mean *per os* furosemide posology was 132.5 mg before hospitalization (Table 1).

	No	Mean (SD) or No. (%)
<b>Baseline characteristics</b>		
Age, years (extremes)	42	85.8 (SD 8.2) (71.7 - 98.8)
Male gender	42	26 (61.9%)
BMI (kg/m <sup>2</sup> )	39	26.5 (SD 6.2)
Charlson Comorbidity Index	42	8.5 (SD 2.3)
Chronic kidney disease	42	22 (52%)
Hypertension	42	32 (76%)
Diabetes	42	18 (43%)
<b>Previous cardiac history</b>		
Know heart disease	42	31 (73.8%)
LVEF	25	49.8 (SD 13.5)
Daily <i>per os</i> furosemide posology (mg)	42	132.5 (SD 231.5)
<b>Triggering factor of AHF</b>		
Unknown	42	8 (19.0%)
Anaemia	42	9 (21.4%)
Pneumopathy	42	8 (21.4%)
Atrial fibrillation	42	5 (11.9%)
Other bacterial infections (pyelonephritis, erysipelas)	42	4 (9.5%)
Recent decrease in diuretic treatment	42	2 (4.8%)
Non-compliance in healthcare	42	2 (4.8%)
Pulmonary embolism	42	1 (2.4%)
Altitude hypoxemia	42	1 (2.4%)
Covid-19	42	1 (2.4%)
<b>Biological and radiography characteristics at admission</b>		
Haemoglobin (g/dL)	42	11.2 (SD 1.9)
Ferritin (ng/ml)	30	167.1 (SD 199.2)
Transferrin saturation (%)	30	12.4 (SD 9.1)
Creatinine ( $\mu$ mol/L)	42	134.9 (SD 55.0)
Urea (mmol/L)	42	14.7 (SD 9.5)
Natremia (mmol/L)	42	139.8 (SD 3.8)
Kalemia (mmol/L)	41	4.2 (SD 0.7)
NT-pro BNP (ng/L)	41	9041 (SD 8770.6)
Albumin (g/L)	35	32.1 (SD 5.6)
Signs of pulmonary oedema on chest radiography	36	30 (83.3%)
<b>During hospitalization</b>		
Length of hospitalization (days)	42	8.0 (5.1)
Furosemide posology IV received in ED (mg)	42	122.4 (SD 214.5)
Furosemide posology IV/24h on admission (mg)	42	159.2 (SD 256.5)
Intra-venous iron supplementation	42	24 (57.1%)
Dietetic consultation	42	15 (35.7%)
Physiotherapy	42	25 (59.5%)
Therapeutic patient education	42	5 (11.9%)
<b>At discharge</b>		
NT-pro BNP (ng/ml)	11	3750 (SD 4038.5)
Daily <i>per os</i> furosemide posology (mg)	42	153.9 (SD 268.5)
Biological check-up at 7 days	42	22 (52.4%)
Consultation with attending physician at 7 days	42	18 (42.9%)
Consultation with cardiologist at 20 days	42	20 (47.6%)

BMI = body mass index ; LEVF = left ventricular ejection fraction ; AHF = acute heart failure ; NYHA = New York Heart Association ; BNP = brain natriuretic peptide ; ED = emergency department ; IV = intra venous

**Table 1. Characteristics of the study population**

The Table 2 reports the clinical exam, creatinine level as well as the furosemide posology and the number of B-lines during the different times of hospitalization (admission, 25%, 50% and 75% of hospitalization and discharge).

		Admission (0%)	25%	50%	75%	Discharge (100%)
<b>Weight</b>						
Mean (SD) [count]		73.6 (18.0) [41]	73.4 (16.0) [24]	73.6 (18.8) [22]	71.5 (18.4) [24]	75.6 (20.4) [21]
<b>Dyspnoea</b>						
Mean (SD) [count]		5.1 (3.2) [34]	3.3 (2.9) [25]	2.1 (2.5) [26]	1.8 (2.3) [25]	1.7 (2.2) [28]
<b>NYHA</b>						
Mean (SD) [count]		3.1 (1.0) [35]	2.3 (1.0) [27]	2.2 (1.0) [27]	2.1 (0.9) [23]	2.2 (0.9) [27]
<b>Orthopnoea</b>						
% of total [count]	<b>Yes</b>	36.6% [15]	14.7% [5]	9.7% [3]	7.4% [2]	2.6% [1]
	<b>No</b>	63.4% [26]	85.3% [29]	90.3% [28]	92.6% [25]	97.4% [37]
<b>Asthenia</b>						
Mean (SD) [count]		5.6 (3.0) [31]	4.4 (2.7) [23]	3.9 (3.0) [20]	3.3 (3.2) [18]	3.2 (2.6) [21]
<b>Crackles</b>						
% of total [count]	<b>No</b>	24.4% [10]	32.3% [10]	35.5% [11]	30.0% [9]	44.7% [17]
	<b>Base</b>	26.8% [11]	38.7% [12]	48.4% [15]	53.3% [16]	31.6% [12]
	<b>1/4 lung</b>	12.2% [5]	6.5% [2]	6.5% [2]	10.0% [3]	21.1% [8]
	<b>1/2 lung</b>	29.3% [12]	22.6% [7]	9.7% [3]	6.7% [2]	2.6% [1]
	<b>3/4 lung</b>	7.3% [3]	0.0% [0]	0.0% [0]	0.0% [0]	0.0% [0]
<b>VM abolition</b>						
% of total [count]	<b>No</b>	61.0% [25]	75.0% [24]	63.3% [19]	63.3% [19]	84.2% [32]
	<b>Base</b>	22.0% [9]	9.4% [3]	23.3% [7]	26.7% [8]	10.5% [4]
	<b>1/4 lung</b>	4.9% [2]	6.2% [2]	3.3% [1]	3.3% [1]	5.3% [2]
	<b>1/2 lung</b>	7.3% [3]	6.2% [2]	6.7% [2]	6.7% [2]	0.0% [0]
	<b>3/4 lung</b>	2.4% [1]	3.1% [1]	3.3% [1]	0.0% [0]	0.0% [0]
	<b>All lung</b>	2.4% [1]	0.0% [0]	0.0% [0]	0.0% [0]	0.0% [0]
<b>Lower limbs oedema</b>						
% of total [count]	<b>No</b>	33.3% [14]	50.0% [16]	14 (46.7%)	48.3% [14]	56.8% [21]
	<b>Ankle</b>	28.6% [12]	21.9% [7]	12 (40.0%)	44.8% [13]	45.1% [13]
	<b>Knee</b>	28.6% [12]	25.0% [8]	3 (10.0%)	6.9% [2]	5.4% [2]
	<b>Thigh</b>	9.5% [4]	3.1% [1]	1 (3.3%)	0.0% [0]	2.7% [1]
<b>Creatinine (μmol/l)</b>						
Mean (SD) [count]		133.7 (55.1) [42]	139.1 (51.8) [30]	139.8 (54.0) [26]	144.1 (58.5) [21]	142.8 (57.5) [30]
<b>Furosemide posology (IV, mg)</b>						
Mean (SD) [count]		162.1 (SD 259.0) [42]	147.4 (224.7) [35]	124.0 (220.2) [36]	80.5 (137.4) [34]	77.0 (134.2) [42]
<b>Pleural effusion</b>						
% of total [count]	<b>Yes</b>	61.5% [8]	60.0% [15]	48.0% [12]	46.2% [12]	35.7% [10]
	<b>No</b>	38.5% [5]	40.0% [10]	52.0% [13]	53.8% [14]	64.3% [18]
<b>B-lines left</b>						
Mean (SD) [count]		9.1 (7.5) [13]	6.8 (5.1) [25]	5.6 (5.1) [25]	4.8 (4.1) [26]	4.5 (3.5) [28]
<b>B-lines right</b>						
Mean (SD) [count]		9.8 (7.1) [13]	8.2 (6.9) [25]	6.3 (4.8) [25]	6.0 (4.2) [26]	3.9 (4.0) [28]
<b>Total B-lines</b>						
Mean (SD) [count]		18.1 (13.0) [13]	13.4 (10.2) [25]	11.9 (9.4) [25]	10.8 (7.8) [26]	8.4 (6.8) [28]

NYHA = New York Heart Association ; VM = vesicular murmur ; IV = intra venous

**Table 2. Characteristics evolution of the patients during hospitalization**

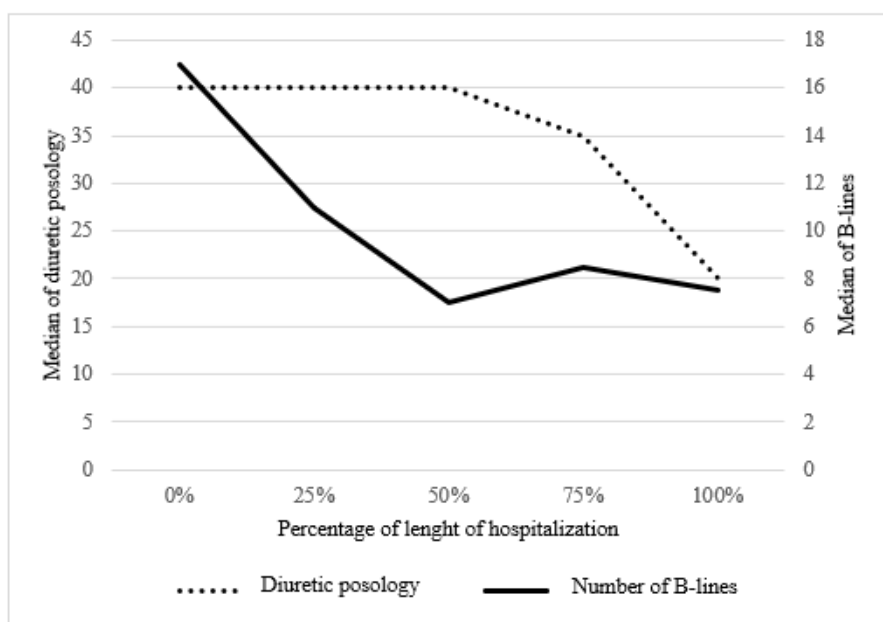
### Reproducibility and feasibility

After the comparison of 17 exams done by two different physicians, the intraclass correlation coefficient obtained for the total number of B lines is 0,809 (IC 95% : 0.556 – 0.955) and the Cohen's kappa coefficient for the presence of pleural effusion is 0,764 (IC 95% : 0.403 – 1.00).

The 42 patients analyzed add up 237 working days (Monday to Friday) of hospitalization. 188 LUS were performed, that is 79,3% of the working days. In other words, we have 20,7% of LUS missing during patients follow-up.

### LUS B-lines, posology diuretics, clinical and biological parameters

The number of B-lines decrease promptly and importantly at the beginning of hospitalization with the diuretic therapy, then stagnates at the middle of hospitalization until the discharge. Diuretic posology remains stable at beginning of hospitalization. Then, it decreases towards the middle of hospitalization until discharge (Figure 2, Table 3). The number of B lines and the diuretic posology progresses without relationship between them.



**Figure 2. Evolution of median of B-lines and median diuretic posology according to time**

Hospitalization time	Median of B-lines	Median of diuretic posology	B-lines tendency	Diuretic posology tendency	Correlation coefficient r	p-value univariate	p-value multivariate <sup>1</sup>
0%	17	40			0.023	0.941	0.869
25%	11	40	0.65	1	- 0.098	0,901	0.960
50%	7	40	0.64	1	- 0.256	0,216	0.396
75%	8,5	35	1.21	0.88	- 0.213	0,306	0.591
100%	7,5	20	0.88	0.57	- 0.182	0,305	0.737

<sup>1</sup> Adjustment on the age

**Table 3.** Evolution of number of B-lines and diuretic posology according to time

Cardiac overload signs (crackles, lower limb oedema) decreases also during the hospitalization, without any significant relationship to the number of B-lines (Table 4).

Hospitalization time	Clinic sign	Intensity of clinic sign	No.	B-lines mean (SD) [count]	p value <sup>1</sup>
<b>Admission (0%)</b>	Crackles	Absent		14.7 (9.1) [3]	
		Moderate <sup>a</sup>	13	12.8 (14.4) [5]	0.295
		Severe <sup>b</sup>		25.4 (12.3) [5]	
	Lower limb oedema	Absent		23.2 (15.5) [5]	
		Moderate <sup>c</sup>	13	14.9 (11.1) [5]	0.281
		Severe <sup>d</sup>		0.0 (NA) [0]	
<b>25%</b>	Crackles	Absent		10.3 (11.4) [10]	
		Moderate <sup>a</sup>	31	8.7 (9.9) [14]	0.824
		Severe <sup>b</sup>		11.7 (11.1) [7]	
	Lower limb oedema	Absent		12.5 (11.1) [16]	
		Moderate <sup>c</sup>	32	7.1 (9.1) [15]	0.233
		Severe <sup>d</sup>		0.0 (NA) [0]	
<b>50%</b>	Crackles	Absent		9.8 (11.8) [11]	
		Moderate <sup>a</sup>	31	9.1 (8.3) [17]	0.539
		Severe <sup>b</sup>		3.0 (3.6) [3]	
	Lower limb oedema	Absent		10.9 (10.5) [14]	
		Moderate <sup>c</sup>	30	7.9 (8.5) [15]	0.451
		Severe <sup>d</sup>		0.0 (NA) [1]	
<b>75%</b>	Crackles	Absent		12.8 (9.4) [9]	
		Moderate <sup>a</sup>	30	7.4 (7.9) [19]	0.223
		Severe <sup>b</sup>		4.5 (6.4) [2]	
	Lower limb oedema	Absent		10.0 (9.6) [14]	
		Moderate <sup>c</sup>	30	8.2 (7.5) [15]	0.563
		Severe <sup>d</sup>		1.0 (NA) [1]	
<b>At discharge (100%)</b>	Crackles	Absent		6.6 (7.1) [17]	
		Moderate <sup>a</sup>	39	3.9 (6.4) [21]	0.055
		Severe <sup>b</sup>		20.0 (NA) [1]	
	Lower limb oedema	Absent		5.4 (6.9) [18]	
		Moderate <sup>c</sup>	35	6.2 (7.7) [16]	0.697
		Severe <sup>d</sup>		0.0 (NA) [1]	

<sup>a</sup> Crackles in bases and 1/4 lung <sup>b</sup> Crackles in 1/2 , 3/4 and all lung <sup>c</sup> Lower limb oedema in ankle or knee <sup>d</sup> Lower limb oedema in thing or all limb  
<sup>1</sup> Linear Model ANOVA

**Table 4.** Evolution of number of B-lines according to clinical signs of congestion

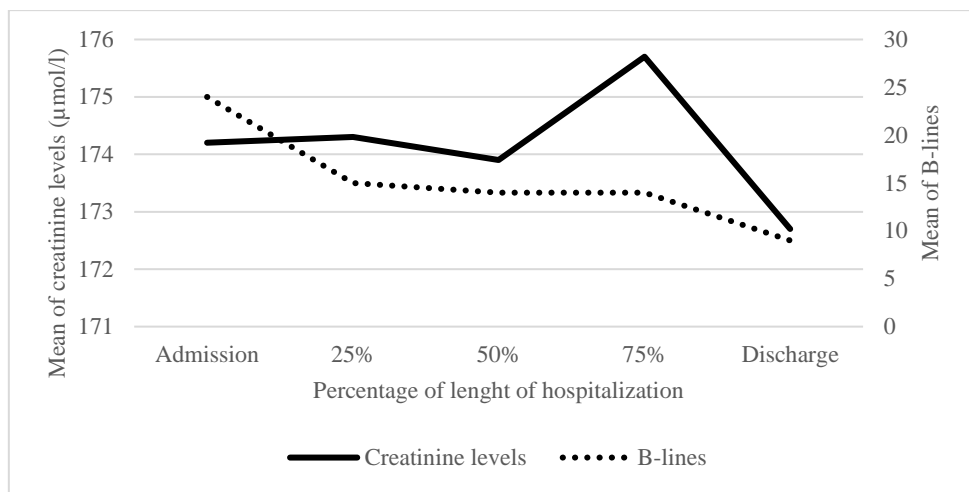
At discharge, there is no significant connection between the number of B-lines and the presence and the intensity of crackles. 22 of patients had crackles with an average number of B-lines of 7.6 (Table 5)

<b>At discharge</b>	<b>No crackles</b>	<b>Bases crackles</b>	<b>¼ lung crackles</b>	<b>½ lung crackles</b>	<b>¾ lung crackles</b>	<b>All lung crackles</b>	<b>p-value<sup>1</sup></b>
<b>B lines</b> Mean (SD) [count]	6.6 (7.1) [17]	4.1 (7.2) [13]	3.6 (5.4) [8]	20.0 (NA) [1]	0.0 (NA) [0]	0.0 (NA) [0]	0.124

<sup>1</sup>Linear Model ANOVA

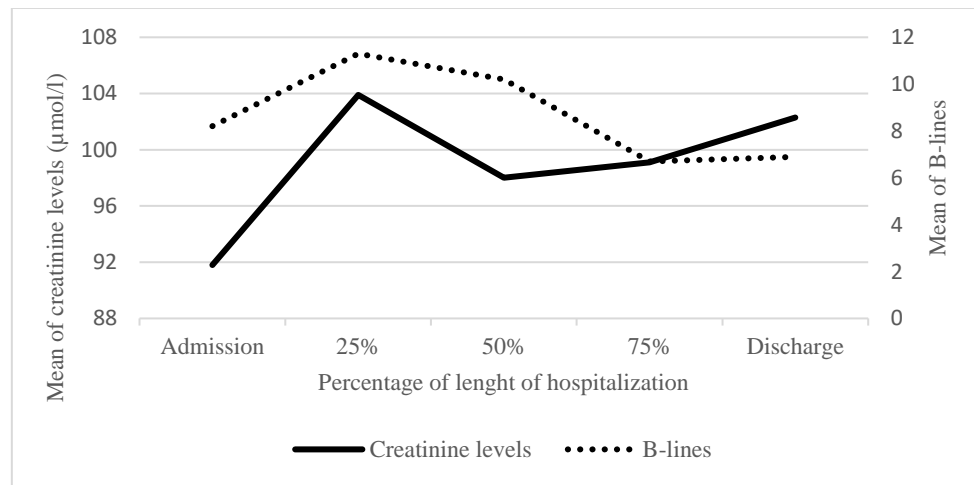
**Table 5. Number of B-lines according to crackles at discharge**

22 (52%) of our patients had a known history of chronic kidney disease (CKD) with a baseline average creatinine value of 155.7 µmol/l. Their average value was 174.2 µmol/l at hospital admission and tends to remain stable throughout the hospital stay (Figures 3). Among them, 15 (68%) suffered acute kidney injury (AKI). It was present for 11 (50%) of them at admission and 4 (18%) developed it during hospitalization. The other 20 (48%) patients of our study had not a CKD history, their average creatinine level at admission was 91.8 µmol/l and tended to remain stable too (Figures 4). Among them, seven (35%) suffered AKI. It was present for two (10%) of them at admission and the other five (25%) developed it during hospitalization. Table 6 shows that, at admission, patients with CKD history had a significantly higher number of B-lines than those without CKD history. There are no relationship between the evolution of the number of B-lines and that of creatinine levels.



CKD = Chronic kidney disease

**Figure 3. Evolution of number of B-lines and creatinine levels according to time in patients with CKD history**



CKD = Chronic kidney disease

**Figure 4. Evolution of number of B-lines and creatinine levels according to time in patients without CKD history**

Hospitalization time	CDK history	No.	Creatinine in μmol/l mean (SD) [count]	B-lines mean (SD) [count]	p value <sup>1</sup>
<b>Admission (0%)</b>	Yes	22	174.2 (43.1) [22]	24.2 (11.6) [8]	0.023
	No	20	91.8 (26.9) [20]	8.2 (8.8) [5]	
<b>25%</b>	Yes	22	174.3 (43.8) [15]	14.6 (9.4) [16]	0.450
	No	20	103.9 (31.4) [15]	11.3 (11.7) [9]	
<b>50%</b>	Yes	22	170.5 (49.8) [15]	13.7 (10.2) [12]	0.373
	No	20	98.0 (21.7) [11]	10.2 (8.7) [13]	
<b>75%</b>	Yes	22	171.8 (56.6) [13]	14.4 (8.5) [14]	0.008
	No	20	99.1 (23.3) [8]	6.7 (3.9) [12]	
<b>At discharge (100%)</b>	Yes	22	169.8 (57) [18]	9.2 (7.5) [18]	0.406
	No	20	102.3 (26.9) [12]	6.9 (5.2) [10]	

<sup>1</sup>Linear Model ANOVA

**Table 6. B-lines evolution according to creatinine measurement**

Within a month of hospitalization, 5 (12%) patients died for any causes and 7 (20%) were re-hospitalized for AHF. Only one of the deceased patients died after readmission for AHF. The relationship between the number of B-lines and the vital status at 30-days discharge is statistically significant with a *p-value* < 0.001 (Table 7)

At 30-days after discharge		B-lines mean (SD) [count] at discharge	p-value <sup>1</sup>
<b>Vital status</b>	<b>Death</b>	15.2 (10.1) [5]	<0.001
	<b>Alive</b>	3.9 (5.4) [37]	
<b>Hospital status for AHF</b>	<b>Readmission</b>	4.9 (5.4) [8]	0.469
	<b>No readmission</b>	4.1 (5.7) [30]	

<sup>1</sup>Linear Model ANOVA

**Table 7. B-lines at discharge according to vital and hospital status 30-days after discharge**

## DISCUSSION

In this prospective monocentric study conducted in a post-urgence ward, we are interested in the relationship between the number of B-lines at LUS, the diuretic posology administrated and the clinical and biological signs of cardiac overload in in-patients with AHF. We observed an important decrease in the number of B-lines in the first half of hospitalization and a stabilization trend then, whereas diuretics posology decreases during whole hospitalization. At the discharge some of our patients presented a sub-clinical pulmonary overload without crackles but with the persistence of B-lines. The presence of B-lines at discharge is significantly associated with mortality risk at 30-days.

Few previous studies have looked at the relation between LUS B-lines and the diuretic posology in in-patients outside cardiology and intensive care unit. Pang et al (18) lead to a pilot trial in which patients consulting for AHF and pulmonary overload in the ED are divided in two groups in order to compare usual standard care and LUS-guided strategy-of-care in the first six hours. Patients in the intervention group showed a consistent numeric reduction of B-lines during hospitalization suggesting that protocol driven therapy might facilitate a faster congestion reduction. For Panuccio et al (19) who conducted a pilot study in in-patients for AKI in nephrology ward, showed that LUS clearly document the superiority over clinical examination for detection of interstitial lung oedema, notably when congestion is in a pre-clinical stage. Cardiologic groups have assessed the value of LUS in the adaptation of diuretic treatment in out-patients. For example, Rivas-Lasarte et al. (20) used LUS for monitoring patients after a hospitalization for AHF and showed that patients with LUS-guided adaption of diuretic treatment had less urgent visit, hospitalization for AHF and death from any causes (HR = 0.518 [CI 95% : 0.268-0.998 ; p = 0.049]) than those with a standard follow-up. In the same way, in the Chinese randomized IMP-OUTCOME trial, Yunlong et al (21) are currently studying the

adaptation of diuretic treatment according to LUS (test group) in patients discharged after an AHF episode.

Our results agree with those previous studies that report a discrepancy between clinical pulmonary congestion, notably crackles, and LUS B-lines. This can be related to whether on admission or on discharge, some patients have no detectable clinical congestion but have subclinical pulmonary fluid overload. LUS can identify this clinically silent pulmonary oedema. At admission, in the study by Platz and al. (8), 35% of patients with acute heart failure didn't have crackles whereas only 6% didn't have B-lines. At discharge, Rivas-Lasarte and al. (22) have found that 40% of their patients "lung dry" to auscultation presented subclinical fluid overload detected by LUS and this seems to have similar poor prognosis to over clinical pulmonary congestion. The poor interobserver agreement of crackles at lung auscultation can also participate at its discrepancy. For Panuccio et al (19), in patients with AKI, the agreement between lung crackles and US-B lines was poor ( $\kappa = 0.02$ ,  $p = 0.63$ ). Ramos-Hernandez et al (23) compared the interobserver agreement of LUS and lung auscultation and found that the reproducibility is good for B-lines ( $\kappa = 0.81$  [CI 95% : 0.81 – 0.83]) but poor for crackles ( $\kappa = 0.18$  [CI 95% : 0.16 – 0.20]). Those findings suggest that LUS can be a complement to the other techniques (physical examination, chest-X-ray, natriuretic peptides) for the evaluation of pulmonary congestion.

During a AHF episode, AKI can arise in different cases (6,9,12). It can be a congestion marker due to hypervolemia and to an increment of central venous pressure secondary to a cardiac output reduction, it is the cardiorenal syndrome type 1. In this case fluid removal with diuretics might improve kidney function. AKI can also be the result of hypovolemia caused by diuretic therapy and be the result of a transient decrease in glomerular filtration rate (GFR) without

reflecting excessive depletion. Other factors as dehydration, nephroangiosclerosis and drug adverse effects can contribute to AKI. Therefore, it is difficult to attribute AKI to a single cause as well as to determine the exact mechanism. The evaluation of lung congestion in patients AKI is not an easy task. Panuccio et al (19) showed that patients with AKI hospitalized in nephrology ward, hidden lung congestion is much frequent in apparently euvolemic and hypovolemic patients, approximately 30% of their euvolemic and hypovolemic patients presented clear-cut cardiovascular congestion. For Ruggenenti et al (24), patients with AHF and concomitant AKI are those that require an urgent and efficient therapy because the combination of both is associated with poor outcomes and appears to be a stronger predictor of mortality. For them, the priority must be the pulmonary decongestion without being limited by the alteration of renal markers. For Blair et al (25) AKI appearing in-hospital may reflect an aggressive decongestion rather than kidney injury because it is often associated with reduction in natriuretic peptides, blood pressure and body weight which are good prognostic factors. We did not find studies focused on LUS and clinical or biological signs of AKI during AHF episode. In our study, patients with a CKD history had more B-lines at admission than those with a healthy kidney. This relationship was only significant at admission, because during hospitalization creatinine levels remain steady in the two groups while the number of B-lines decrease.

Our results of 30-day all-cause mortality and readmission for AFH are consistent with the data of the American Heart Association who reports that in patients older than 65 years after an episode of AFH rates of 10% and 20-25% respectively (26). In the population of Freund et al (27), the average age was 87 years and 30-days mortality and readmission was similar to those mentioned earlier. The number of B-lines decreased from hospital admission to discharge, but a part of patients still have B-lines at discharge and the lack of clearance of it at this time is associated with a high risk of adverse events like ED consultation, AHF readmission and all-

causes death. Cogliati et al (3) who were interested in in-patients in internal medicine department found that the sonographic score was significantly associated with adverse events at 100-days with an hazard ratio (HR) equal to 1.19 (IC 95% : 1.05-1.14 ; p = 0.005). In same order, E. Platz et al (28) found that the relation between the risk of adverse event and an high number of B-lines at discharge is strong : unadjusted HR at 60 days was 3.30 (IC 95 % CI : 1.52-7.17 ; p = 0.002). In our study we found a significant relationship between the number of B-lines and 30-days mortality. However we did not find a connection of B-lines and re-hospitalization risk, which is discordant with literature. Gargani et al (4) and Miglioranza et al (29) conclude that absence or a mild degree of B-lines ( $\leq 15$ ) identify a subgroup at extremely low risk to be readmitted for AFH, perhaps our patients belong to this group. If we utilize this cut off of  $\geq 15$  B-lines at discharge to determine prognosis, we note that among our death patients four of five had  $\geq 15$  B-lines, but among the patients alive only two of 37 had  $\geq 15$  B-lines. Only Cogliati et al where interested in elderly patients (mean age 80 years). The average age in this studies mentioned above was 70, 53 and 71 years respectively. Other factors may contribute to explain this high mortality. The mean age of our patient was 85.6 years (rank : 71.7 – 98.8) and we know that age is a strong and independent predictor factor of mortality in patients with HF (30). Furthermore the past medical history should also be taken into account, the average Charlson Comorbidity Index (CCI) was 8.5 (rank : 5 – 17). CCI is an independent predictor of mid-term post-discharge mortality among elderly HF patients (31). A CCI  $\geq 5$  fits a HR age-adjusted of 77.3 (IC 95% 74.7-79.8) at 1-year mortality (32). The prognosis seems not driven only by pulmonary oedema but rather by triggering factor and underlaying conditions (27,33)

### *Strengths*

Our study has some strengths. First, we performed 8-zones LUS according to recommendations by international consensus statement (16) and interpreted in real time. LUS were performed with patients in the same position, with the same ultrasound device and configuration. Other studies use a clip recording for the evaluation of B-lines but Platz et al (34) found that the length of the clip can have an impact in the count of B-lines.

Second, even if the extrapolation of our results can be limited by the small sample size and the single centre approach, we performed a large number (188) of LUS during the study. Moreover, our patients are mainly elder polypathological who can reflect a good part of the population in medical ward. The fragility of our population means that some patients had a longer than expected length of hospitalization because of social or secondary medical issues. To overcome this, we considered patients as discharged after 48 hours of stable diuretic treatment or return to baseline posology.

Third, most of the studies evaluating LUS are conducted in a cardiology or an intensive care unit and few are conducted in medicine ward. Our population is elderly and polypathological what brings it closer to geriatric population than to cardiology patients who are younger.

Fourth, practitioners who make LUS were blinded of clinical examination, and even if LUS is not performed every day by the same physician, the intra class coefficient correlation for the number of B-lines is excellent (0,809 [IC 95%: 0.556 – 0.955]) and close to that found in other studies. For instance, for Russel et al (35) this coefficient was 0,74 after a trial of approximately 11 exams and two hours of theoretical class. It was 0.98 (95% IC : 0.98-0.99 ; p < 0.0001) for

Miglioranza et al (29) assessed in a set of 20 consecutive patients and 0.98 ( $p < 0.0001$ ) for M. Mazzola et al (36) in 50 LUS videos evaluated by an expert reader.

Fifth, even if doctors are free to prescribe treatment doses according to their assessment, our study had a positive impact in the implementation of protocolized care for AHF treatment in the department.

### *Limitations*

To our knowledge, our study has some limitations. First, the absence of a consensus definition of cardiac congestion and the lack of a gold standard to verify its presence are an important limitation for the diagnosis of AFH. Therefore, physicians based on a body of evidence to establish the diagnosis before including a patient, as recommended by the ESC (13). There is also no consensus on the definition of ultrasound pulmonary congestion, which is why we decided to count the number of B-lines and not to set a cut-off.

Second, a daily LUS on working days for the duration of the hospitalization was not possible in our study, 79,3% of the LUS are performed. Some reasons can explain this, as the high workload or the need for sufficient senior doctors to hold the blind. A solution can be to train the residents for LUS. We didn't find other studies that performed daily LUS, it is a originality of our study. Gargani et al (4) performed LUS at admission and at discharge hospitalization with a feasibility of 100%, Mazzola et al (36) realized LUS at admission, 24 hours and 48 hours after in-hospital and before the discharge.

Third, during their stay in the ED, our patient received furosemide (average of 122 mg IV), some of them stayed several hours and we don't know if they had a LUS. B-lines are dynamic

and are quickly impacted by diuretic treatment (8), it is possible consequently that our first clinical and ultrasound examination showed fewer signs of congestion than when patients arrived at ED. We were interested in post-emergency care but the data at initial intake could have an impact. Pang et al (18) shows that patients with a LUS-guided therapy at ED have a significantly greater B-lines reduction in the first 48 hours compared with those receiving usual care ( $p = 0.04$ ).

Fourth, the detection of B-lines doesn't necessarily imply the cardiogenic origin. Other pathologies can be a source of B-lines like pulmonary fibrosis, acute respiratory distress syndrome (ARDS), pneumopathies bacterial and viral. None of our patients presented an ARDS and we excluded patients with fibrosis and pneumonectomy. Nevertheless we included patients with an infectious pneumonia which is a frequent triggering factor of AHF and we used the total number of B-lines for our analysis that can be increased in this cases and constitute a confounding factor. Even if pneumonia represent a confounding factor for the evaluation of B-lines in AHF, as shown by Mazzola et al (36) LUS is able to monitor pulmonary decongestion in patients with AHF whether they have associated pneumonia or not.

Fifth, we conducted the study regardless of if ejection fraction (EF) is reduced (HFrEF) or preserved (HFpEF). This information is not always easy to obtain and few of our patient had an echocardiography during their hospitalization. Yang et al (37) did not find significant differences in the B-lines between HFpEF and HFrEF groups. Unlike, Palazzuoli (38) et al found that patients with HFrEF had more B-lines compare to them with HFpEF at admission ( $p\text{-value} = 0.04$ ) and discharge ( $p\text{-value} = 0.009$ ). Studies are therefore discordant, further need to be carried out.

## **CONCLUSION**

Acute heart failure is a major public health problem and pulmonary congestion is the main therapeutic target. Pleuropulmonary ultrasound has emerged in the last decade as an additional tool in the diagnostic aid and follow-up of these patients.

In this prospective observational study conducted in a multidisciplinary medical ward, we observed a trend towards stagnation in the number of B-lines at the end of hospitalization while the given diuretics posology administered continues decreasing. At the time of discharge, a number of our patients presented a clinical examination without signs of overload despite the presence of B lines. And at the same time, we found a significant relationship between the number of B-lines at discharge and the risk of death at 30-days.

In the absence of a gold standard in the quantitative assessment of cardiac overload, LUS is an interesting tool that could help optimizing the management of congestion, particularly when it becomes subclinical, and thus improve the prognosis at 30 days. A randomized interventional study is needed to assess the value of echo-guided therapeutic management in conventional non-cardiology hospitalization.

THÈSE SOUTENUE PAR : Elena BEL ALONSO

TITRE :

Intérêt de l'échographie pleuro pulmonaire dans la prise en charge de la décompensation cardiaque en post-urgence

CONCLUSION :

L'insuffisance cardiaque aiguë est un problème de santé publique majeur et la congestion pulmonaire est sa cible thérapeutique principale. L'échographie pleuropulmonaire a émergé dans la dernière décennie comme un outil supplémentaire dans l'aide diagnostique et le suivi de ces patients.

Nous avons observé dans cette étude observationnelle prospective conduite en service de médecine polyvalente, une tendance à la stagnation du nombre de lignes B en fin d'hospitalisation alors que la posologie de diurétiques administrés continu de diminuer. Au moment de la sortie, un certain nombre de nos patients présentait un examen clinique sans signes de surcharge malgré des lignes B encore présentes. Parallèlement, nous avons mis en évidence une relation significative entre le nombre de lignes B à la sortie d'hospitalisation et le risque de décès à un mois.

En absence de gold standard dans l'évaluation quantitative de la surcharge cardiaque, l'échographie pleuropulmonaire est un outil intéressant qui pourrait aider à optimiser la prise en charge de la congestion notamment quand celle-ci devient subclinique, et ainsi améliorer le pronostic à 30 jours. Une étude interventionnelle randomisée est nécessaire afin d'évaluer l'intérêt d'une prise en charge thérapeutique échoguidée en hospitalisation conventionnelle non-cardiologique.

VU ET PERMIS D'IMPRIMER

Grenoble, le :

LE DOYEN DE LA FACULTÉ DE MÉDECINE

Pr. Patrice MORAND

Pour le Président  
et par délégation  
Le Doyen de Médecine  
Pr. Patrice MORAND

LE PRÉSIDENT / LA PRÉSIDENTE DU JURY

Guillaume DEBATY  
Pr. DEBATY Guillaume

## REFERENCES

1. L'état de santé de la population en France - Rapport 2017 | Direction de la recherche, des études, de l'évaluation et des statistiques [Internet]. [cité 18 mars 2022]. Disponible sur: <https://drees.solidarites-sante.gouv.fr/publications-documents-de-reférence/rapports/letat-de-sante-de-la-population-en-france-rapport-2017>
2. Coiro S, Rossignol P, Ambrosio G, Carluccio E, Alunni G, Murrone A, et al. Prognostic value of residual pulmonary congestion at discharge assessed by lung ultrasound imaging in heart failure. *Eur J Heart Fail.* nov 2015;17(11):1172-81.
3. Cogliati C, Casazza G, Ceriani E, Torzillo D, Furlotti S, Bossi I, et al. Lung ultrasound and short-term prognosis in heart failure patients. *Int J Cardiol.* 1 sept 2016;218:104-8.
4. Gargani L, Pang PS, Frassi F, Miglioranza MH, Dini FL, Landi P, et al. Persistent pulmonary congestion before discharge predicts rehospitalization in heart failure: a lung ultrasound study. *Cardiovasc Ultrasound.* 4 sept 2015;13:40.
5. Torino C, Gargani L, Sicari R, Letachowicz K, Ekart R, Fliser D, et al. The Agreement between Auscultation and Lung Ultrasound in Hemodialysis Patients: The LUST Study. *Clin J Am Soc Nephrol.* 7 nov 2016;11(11):2005-11.
6. Riocreux CAM. Thèse de médecine : Optimisation des diurétiques dans la décompensation de l'insuffisance cardiaque chronique : rationnel et description de l'étude ProDUCT-HF. 2019;134.
7. Anile A, Russo J, Castiglione G, Volpicelli G. A simplified lung ultrasound approach to detect increased extravascular lung water in critically ill patients. *Crit Ultrasound J.* déc 2017;9(1):13.
8. Platz E, Merz AA, Jhund PS, Vazir A, Campbell R, McMurray JJ. Dynamic changes and prognostic value of pulmonary congestion by lung ultrasound in acute and chronic heart failure: a systematic review. *Eur J Heart Fail.* sept 2017;19(9):1154-63.
9. Girerd N, Seronde MF, Coiro S, Chouihed T, Bilbault P, Braun F, et al. Integrative Assessment of Congestion in Heart Failure Throughout the Patient Journey. *JACC Heart Fail.* avr 2018;6(4):273-85.
10. Martindale JL, Wakai A, Collins SP, Levy PD, Diercks D, Hiestand BC, et al. Diagnosing Acute Heart Failure in the Emergency Department: A Systematic Review and Meta-analysis. *Acad Emerg Med.* mars 2016;23(3):223-42.
11. Lichtenstein DA, Mezière GA. Relevance of lung ultrasound in the diagnosis of acute respiratory failure: the BLUE protocol. *Chest.* juill 2008;134(1):117-25.
12. Öhman J, Harjola VP, Karjalainen P, Lassus J. Focused echocardiography and lung ultrasound protocol for guiding treatment in acute heart failure. *ESC Heart Fail.* févr 2018;5(1):120-8.
13. 2021 ESC Guidelines for the diagnosis and treatment of acute and chronic heart failure | European Heart Journal | Oxford Academic [Internet]. [cité 1 juin 2022]. Disponible sur: <https://academic.oup.com/eurheartj/article/42/36/3599/6358045?login=true>
14. Frasure SE, Matilsky DK, Siadecki SD, Platz E, Saul T, Lewiss RE. Impact of patient positioning on lung ultrasound findings in acute heart failure. *Eur Heart J Acute Cardiovasc Care.* août 2015;4(4):326-32.

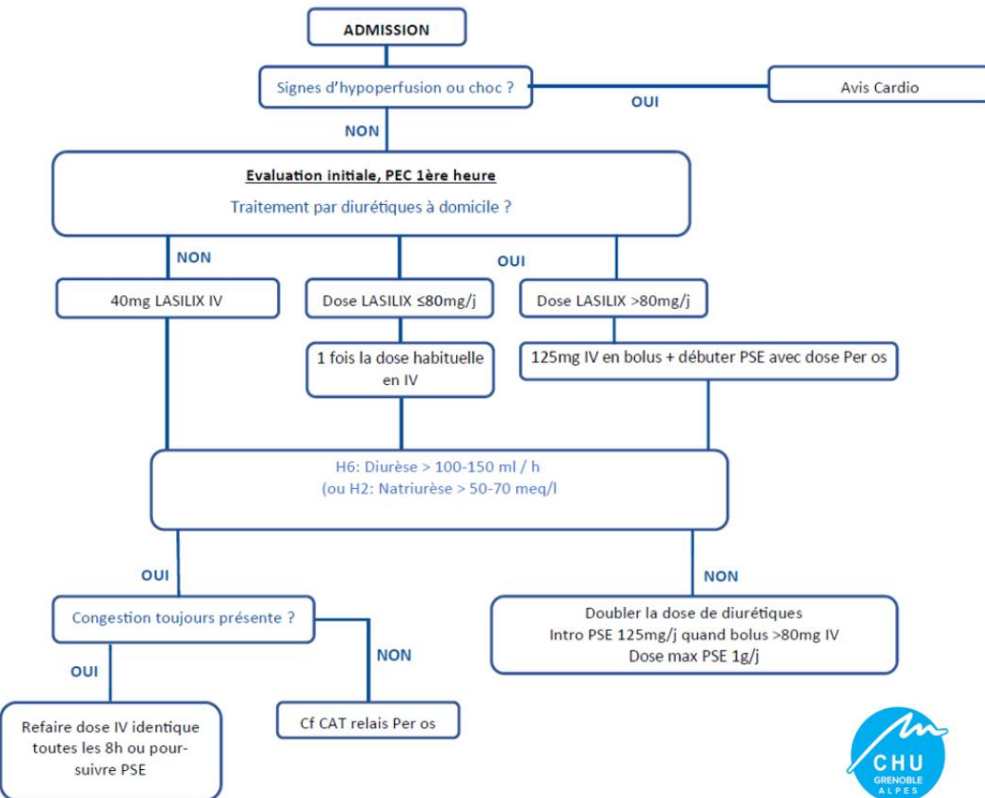
15. Buessler A, Chouihed T, Duarte K, Bassand A, Huot-Marchand M, Gottwalles Y, et al. Accuracy of Several Lung Ultrasound Methods for the Diagnosis of Acute Heart Failure in the ED: A Multicenter Prospective Study. *Chest*. janv 2020;157(1):99-110.
16. Platz E, Jhund PS, Girerd N, Pivetta E, McMurray JJV, Peacock WF, et al. Expert consensus document: Reporting checklist for quantification of pulmonary congestion by lung ultrasound in heart failure. *Eur J Heart Fail*. juill 2019;21(7):844-51.
17. Bailón MM, Rodrigo JMC, Lorenzo-Villalba N, Cerqueiro JM, García JC, Manuel EC, et al. Effect of a Therapeutic Strategy Guided by Lung Ultrasound on 6-Month Outcomes in Patients with Heart Failure: Randomized, Multicenter Trial (EPICC Study). *Cardiovasc Drugs Ther*. août 2019;33(4):453-9.
18. Pang PS, Russell FM, Ehrman R, Ferre R, Gargani L, Levy PD, et al. Lung Ultrasound-Guided Emergency Department Management of Acute Heart Failure (BLUSHED-AHF): A Randomized Controlled Pilot Trial. *JACC Heart Fail*. sept 2021;9(9):638-48.
19. Panuccio V, Tripepi R, Parlongo G, Mafrica A, Caridi G, Catalano F, et al. Lung ultrasound to detect and monitor pulmonary congestion in patients with acute kidney injury in nephrology wards: a pilot study. *J Nephrol*. avr 2020;33(2):335-41.
20. Rivas-Lasarte M, Álvarez-García J, Fernández-Martínez J, Maestro A, López-López L, Solé-González E, et al. Lung ultrasound-guided treatment in ambulatory patients with heart failure: a randomized controlled clinical trial (LUS-HF study). *Eur J Heart Fail*. déc 2019;21(12):1605-13.
21. Zhu Y, Li N, Wu M, Peng Z, Huang H, Zhao W, et al. Impact of B-lines-guided intensive heart failure management on outcome of discharged heart failure patients with residual B-lines. *ESC Heart Fail*. août 2022;9(4):2713-8.
22. Rivas-Lasarte M, Maestro A, Fernández-Martínez J, López-López L, Solé-González E, Vives-Borrás M, et al. Prevalence and prognostic impact of subclinical pulmonary congestion at discharge in patients with acute heart failure. *ESC Heart Fail*. oct 2020;7(5):2621-8.
23. Ramos-Hernández C, Botana-Rial M, Núñez-Fernández M, Lojo-Rodríguez I, Mouronte-Roibas C, Salgado-Barreira Á, et al. Validity of Lung Ultrasound: Is an Image Worth More Than a Thousand Sounds? *J Clin Med*. 25 mai 2021;10(11):2292.
24. Ruggenenti P, Remuzzi G. Worsening kidney function in decompensated heart failure: treat the heart, don't mind the kidney. *Eur Heart J*. oct 2011;32(20):2476-8.
25. Blair JEA, Pang PS, Schrier RW, Metra M, Traver B, Cook T, et al. Changes in renal function during hospitalization and soon after discharge in patients admitted for worsening heart failure in the placebo group of the EVEREST trial. *Eur Heart J*. oct 2011;32(20):2563-72.
26. Virani SS, Alonso A, Aparicio HJ, Benjamin EJ, Bittencourt MS, Callaway CW, et al. Heart Disease and Stroke Statistics—2021 Update. *Circulation*. 23 févr 2021;143(8):e254-743.
27. Freund Y, Cachanado M, Delannoy Q, Laribi S, Yordanov Y, Gorlicki J, et al. Effect of an Emergency Department Care Bundle on 30-Day Hospital Discharge and Survival Among Elderly Patients With Acute Heart Failure: The ELISABETH Randomized Clinical Trial. *JAMA*. 17 nov 2020;324(19):1948-56.
28. Platz E, Campbell RT, Claggett B, Lewis EF, Groarke JD, Docherty KF, et al. Lung Ultrasound in Acute Heart Failure: Prevalence of Pulmonary Congestion and Short- and Long-Term Outcomes. *JACC Heart Fail*. oct 2019;7(10):849-58.

29. Miglioranza MH, Gargani L, Sant'Anna RT, Rover MM, Martins VM, Mantovani A, et al. Lung ultrasound for the evaluation of pulmonary congestion in outpatients: a comparison with clinical assessment, natriuretic peptides, and echocardiography. *JACC Cardiovasc Imaging*. nov 2013;6(11):1141-51.
30. Komajda M, Hanon O, Hochadel M, Lopez-Sendon JL, Follath F, Ponikowski P, et al. Contemporary management of octogenarians hospitalized for heart failure in Europe: Euro Heart Failure Survey II. *Eur Heart J*. févr 2009;30(4):478-86.
31. Formiga F, Moreno-Gonzalez R, Chivite D, Franco J, Montero A, Corbella X. High comorbidity, measured by the Charlson Comorbidity Index, associates with higher 1-year mortality risks in elderly patients experiencing a first acute heart failure hospitalization. *Aging Clin Exp Res*. août 2018;30(8):927-33.
32. Bannay A, Chaignot C, Blotière PO, Basson M, Weill A, Ricordeau P, et al. The Best Use of the Charlson Comorbidity Index With Electronic Health Care Database to Predict Mortality. *Med Care*. févr 2016;54(2):188-94.
33. Teixeira A, Parenica J, Park JJ, Ishihara S, AlHabib KF, Laribi S, et al. Clinical presentation and outcome by age categories in acute heart failure: results from an international observational cohort. *Eur J Heart Fail*. nov 2015;17(11):1114-23.
34. Platz E, Pivetta E, Merz AA, Peck J, Rivero J, Cheng S. Impact of device selection and clip duration on lung ultrasound assessment in patients with heart failure. *Am J Emerg Med*. nov 2015;33(11):1552-6.
35. Russell FM, Ferre R, Ehrman RR, Noble V, Gargani L, Collins SP, et al. What are the minimum requirements to establish proficiency in lung ultrasound training for quantifying B-lines? *ESC Heart Fail*. oct 2020;7(5):2941-7.
36. Mazzola M, Pugliese NR, Zavagli M, De Biase N, Bandini G, Barbarisi G, et al. Diagnostic and Prognostic Value of Lung Ultrasound B-Lines in Acute Heart Failure With Concomitant Pneumonia. *Front Cardiovasc Med*. 2021;8:693912.
37. Yang F, Wang Q, Zhi G, Zhang L, Huang D, Shen D, et al. The application of lung ultrasound in acute decompensated heart failure in heart failure with preserved and reduced ejection fraction. *Echocardiography*. oct 2017;34(10):1462-9.
38. Palazzuoli A, Ruocco G, Beltrami M, Nuti R, Cleland JG. Combined use of lung ultrasound, B-type natriuretic peptide, and echocardiography for outcome prediction in patients with acute HFrEF and HFpEF. *Clin Res Cardiol*. juill 2018;107(7):586-96.
39. Gargani L, Pugliese NR, Frassi F, Frumento P, Poggianti E, Mazzola M, et al. Prognostic value of lung ultrasound in patients hospitalized for heart disease irrespective of symptoms and ejection fraction. *ESC Heart Fail*. août 2021;8(4):2660-9.

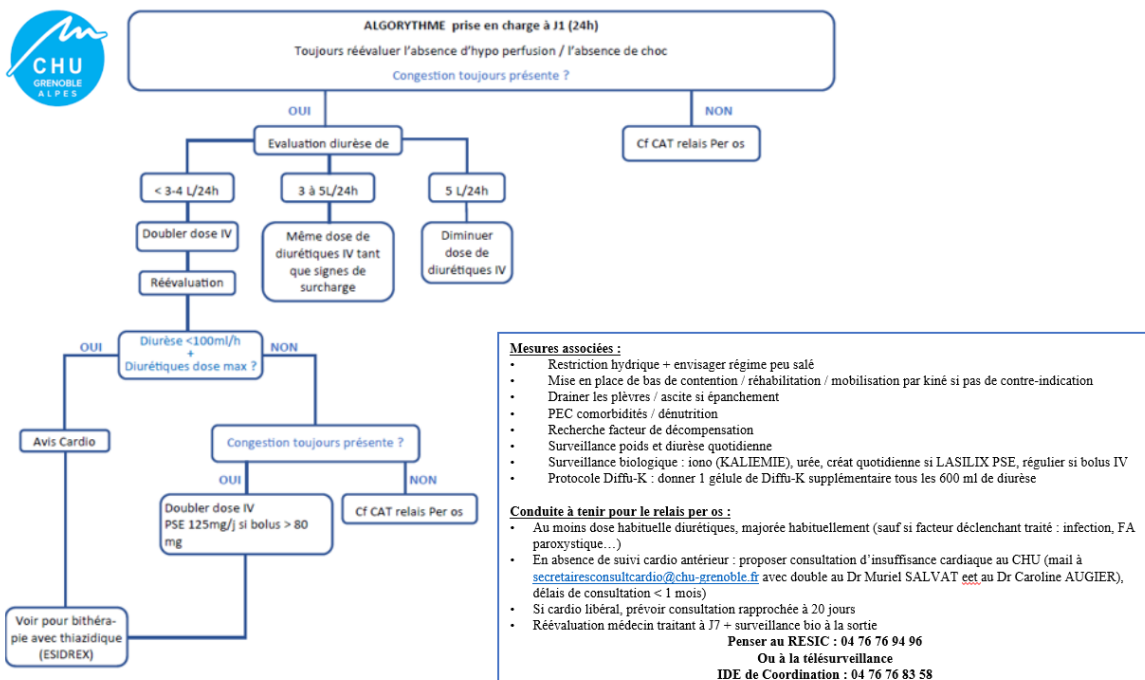
## APPENDICES

### Appendix 1. Diuretic adaptation protocol

- At admission :



- 24h after admission :



## Appendix 2. Paper form to report LUS results

EPPICA

Version 2 du 14/12/2021

### Feuille de recueil de données

#### Thèse Elena

Numéro patient EPPICA :

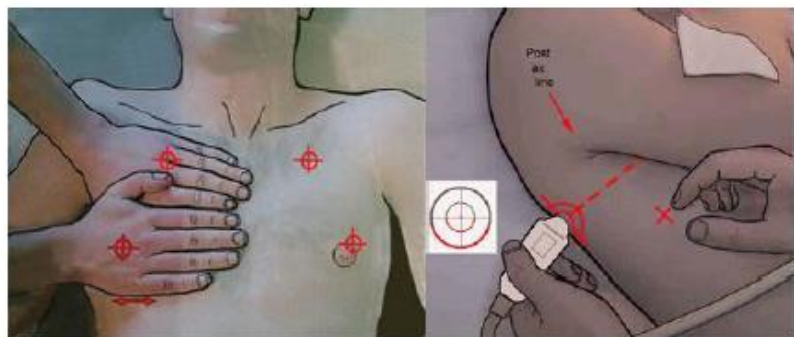
Nom du réalisateur :

#### A COMPLETER TOUS LES JOURS

DATE : .../.../...

HEURE DE REALISATION : ...

Upper Blue Point Gauche	Upper Blue Point Droit
Nombres de lignes B : ...	Nombres de lignes B : ...
Lower Blue Point Gauche	Lower Blue Point Droit
Nombres de lignes B : ...	Nombres de lignes B : ...
Axillaire Gauche	Axillaire Droit
Nombres de lignes B : ...	Nombres de lignes B : ...
Base postérieure Gauche	Base postérieure Droite
Nombres de lignes B : ...	Nombres de lignes B : ...
Epanchement pleural : <input type="checkbox"/> Oui <input type="checkbox"/> Non	Epanchement pleural : <input type="checkbox"/> Oui <input type="checkbox"/> Non



Deux mains (de la taille de celle du patient) se posent ainsi, à partir de la clavicule. Le milieu de la main supérieure détermine l'upper BLUE-point.

Le milieu de la paume inférieure, le lower BLUE-point. Partant transversalement du lower BLUE-point, une ligne croise la ligne axillaire postérieure. Ce croisement, ou le plus postérieurement possible, définit le PLAPS-point (base postérieure).

**Appendix 3.** Follow-up table

Descriptif des données collectées	Pré inclusion J0 (entrée dans le service)	Inclusion T0	Quotidiennement durant l'hospitalisation	Visite de suivi 30 jours (+/- 3 jours) après la dernière échographie
Information des sujets		✓		
Vérification des critères d'éligibilité	✓	✓		
Recueil des données cliniques		✓	✓	
Recueil des données biologiques		✓	✓*	
Echographie		✓	✓	
Recueil des réhospitalisations ou statut vital				✓
Revue du dossier médical				✓

\* récolte des données toutes les semaines et à la sortie

#### **Appendix 4. Data collection notebook**

EPPICA

N° Patient :  
Version 3.0 du 14/12/2021

### **CAHIER de recueil de données Étude EPPICA**

**Thèse Elena**

0645068249 - ebelalonso@chu-grenoble.fr

**Numéro patient EPPICA :**

**Date, heure et service d'ENTREE :**

.../.../...    ... : ...    .....

**Date et heure SORTIE :**

.../.../...    ... : ...

**Lieu SORTIE :**

**A COMPLETER A L'ADMISSION**

DATE : .../.../...

**Antécédents (médicaux et chirurgicaux) :**

<input type="checkbox"/> Diabète <input type="checkbox"/> Compliqué	Antécédents permettant de calculer l'index de comorbidité de Charlson :
<input type="checkbox"/> HTA	<input type="checkbox"/> Démence
<input type="checkbox"/> BPCO	<input type="checkbox"/> Infarctus du myocarde
<input type="checkbox"/> Insuffisance rénale chronique	<input type="checkbox"/> Pathologie pulmonaire chronique
<input type="checkbox"/> Insuffisance hépato cellulaire	<input type="checkbox"/> AVC / AIT <input type="checkbox"/> Hémiplégie séquellaire
<input type="checkbox"/> SAOS	<input type="checkbox"/> Tumeur solide <input type="checkbox"/> Avec métastases
<input type="checkbox"/> AOMI, pathologie vasculaire périphérique	<input type="checkbox"/> Leucémie <input type="checkbox"/> Lymphome
<input type="checkbox"/> Autres :	<input type="checkbox"/> SIDA

Cardiopathie :     Non     Oui : (*préciser*)

Dernière FEVG (%) : ...

**Traitements habituels :**

- Furosémide     Posologie : ...
- Autres diurétiques : ...
- Béta bloquant
- IEC / ARA 2
- Inhibiteur calcique
- Entresto (sacubitril + valsartan)
- Dapagliflozide
- Autres traitements : ....

Constantes				
Taille	Poids (après pesée)	Fréquence cardiaque	Fréquence respiratoire	Pression artérielle
_____ cm	_____ kg	_____ bpm	_____ /min	_____ / _____ mmHg

Examen clinique	
Dyspnée (évaluée par patient)	0 – 1 – 2 – 3 – 4 – 5 – 6 – 7 – 8 – 9 – 10
Stade NYHA	1 – 2 – 3 – 4
Orthopnée	Oui / Non
Asthénie (évaluée par patient)	0 – 1 – 2 – 3 – 4 – 5 – 6 – 7 – 8 – 9 – 10
Balancement thoraco-abdominal	Oui / Non
Tirage	Oui / Non
Crépitants	Non – Bases – $\frac{1}{4}$ champs – $\frac{1}{2}$ champs – $\frac{3}{4}$ champs – Total
Abolition murmur vésiculaire	Non – Bases – $\frac{1}{4}$ champs – $\frac{1}{2}$ champs – $\frac{3}{4}$ champs – Total
Œdèmes des membres inférieurs	Non – Chevilles – Genou – Racine de cuisse
Turgescence jugulaire	Oui / Non
Reflux hépato-jugulaire	Oui / Non
Hépatomégalie	Oui / Non

ECG	<input type="checkbox"/> Normal <input type="checkbox"/> ACFA <input type="checkbox"/> Bloc de branche G <input type="checkbox"/> Bloc de branche D <input type="checkbox"/> Signes d'hypertrophie ventriculaire
Radio pulmonaire	<input type="checkbox"/> Lignes B Kerley <input type="checkbox"/> Opacités périhilaires floconneuses bilatérales symétriques (en ailes de papillon) <input type="checkbox"/> Epanchements pleuraux <input type="checkbox"/> Redistribution vasculaire apex <input type="checkbox"/> Cardiomégalie

ETT à l'admission	<input type="checkbox"/> Non faite <input type="checkbox"/> Oui : FEVG = ... %
-------------------	--

Biologie			
Na (mmol/L)		TP (%)	
K (mmol/L)		TSH (mUI/L)	
Bicarbonates (mmol/L)		Troponines (ng/L)	
Créatinine ( $\mu$ mol/L)		NT pro BNP (ng/L)	
Urée (mmol/L)		Albumine (g/L)	
Hémoglobine (g/L)		Préalbumine (g/L)	
Hématocrite (%)		HbA1c (%)	
Ferritine ( $\mu$ g/L)		Bilirubine (mmol/L)	
Coefficient de saturation			

FUROSEMIDE reçu aux urgences :

Posologie : mg

Voie administration :

Autres traitements notables reçus aux urgences :

FUROSEMIDE prescrit à l'entrée dans le service :

Posologie prescrite : mg

Voie administration :

Autres traitements notables prescrits à l'entrée dans le service :

**A COMPLETER TOUS LES JOURS**

DATE	.../.../...	.../.../...	.../.../...
TA (mmHg)	.../...	.../...	.../...
FC (bpm)			
FR (/min)			
Poids (kg) après pesée			
Dyspnée 0 à 10			
NYHA 1 à 4			
Orthopnée	Oui / Non	Oui / Non	Oui / Non
Asthénie 0 à 10			
Crépitants	Non – Bases – ¼ champs – ½ champs – ¾ champs – Total	Non – Bases – ¼ champs – ½ champs – ¾ champs – Total	Non – Bases – ¼ champs – ½ champs – ¾ champs – Total
Abolition MV	Non – Bases – ¼ champs – ½ champs – ¾ champs – Total	Non – Bases – ¼ champs – ½ champs – ¾ champs – Total	Non – Bases – ¼ champs – ½ champs – ¾ champs – Total
OMI	Non – Chevilles – Genou – Racine de cuisse	Non – Chevilles – Genou – Racine de cuisse	Non – Chevilles – Genou – Racine de cuisse
Diurèse / 24h			
Biologie	Na : K : Bicarbonates : Créatinine :	Na : K : Bicarbonates : Créatinine :	Na : K : Bicarbonates : Créatinine :
Furosémide (préciser voie d'administration)	Posologie prescrite (/24h) :  Modif : ☐ ☐ ☐	Posologie prescrite (/24h) :  Modif : ☐ ☐ ☐	Posologie prescrite (/24h) :  Modif : ☐ ☐ ☐
Restriction hydrique (préciser)	Oui / Non ... ...	Oui / Non ... ...	Oui / Non ... ...

**A COMPLÉTER A LA SORTIE**

Facteur déclenchant d'insuffisance cardiaque aiguë (si identifié) : ....

NT-proBNP de sortie : ....

Posologie Furosémide prescrite : ....

Bas de contention                    Oui                    Non

Carence martiale mise en évidence au cours du séjour :  Oui                    Non  
Si oui : supplémentation en fer :    Oui IV ou PO    Non

Consultation diététicienne :            Oui                    Non

Kinésithérapie :                    Oui                    Non

Éducation thérapeutique :            Oui                    Non

Surveillance bio à J7 prescrite    Oui                    Non

Consultation MT J7                    Oui                    Non

Consultation cardio J20            Oui                    Non

**A COMPLETER à J30 de la sortie d'hospitalisation**

Date de l'appel : .../.../...

**Statut du patient :**  Vivant  Décédé

Réhospitalisation précoce pour insuffisance cardiaque :  Oui  Non

## Appendix 5. Biology follow-up

<b>EBP RÉALISÉ EN LOCAL → Prise en Charge de Soin courant du patient (PCS)</b>			
	A l'entrée J0	Toutes les semaines	A la sortie
Ionogramme : natrémie, kaliémie, bicarbonates	PCS	PCS	PCS
Créatinine, urée	PCS	PCS	PCS
Hémoglobine, hématocrite, TP	PCS		
Ferritine, coefficient de saturation transferrine	PCS		
NT-pro BNP	PCS		PCS
Troponines	PCS		
TSH	PCS		
Albumine, préalbumine	PCS		
HbA1c	PCS		
Bilirubine	PCS		

## Appendix 6. Notice of the Committee for the Protection of persons – November the 3<sup>rd</sup> 2020

### COMITÉ de PROTECTION des PERSONNES EST-III

Hôpital de l'Orbison, Rue du Morvan - 54511 VANDOEUVRE LES NANCY Cedex

Téléphone : 03 83 15 43 24 - Télécopie : 03 59 62 06 02 - Courriel : cpeest3@chru-nancy.fr

Projet de recherche enregistré  
Sous les références :

N°ID : 3C3B-2020-A02313-36

N° CNRPH : 2019-07-373702

N° CPP : 2010/05

N°SIRB : 2019

La Chambre a été saisie le 28 octobre 2020 par Mme Béatrice SCORRENTINO, Directrice du CHU Grenoble Alpes, représentante du CHU de Grenoble Alpes, pour l'examen des modifications apportées suite à une première étude le 6 octobre 2020 au projet de recherche mentionné au 3<sup>e</sup> du Article L1121-1 du Code de Santé Publique, intitulé :

Intérêt de l'échographie pleuro-pulmonaire dans la prise en charge thérapeutique des patients hospitalisés pour décompensation cardiaque aiguë en service de médecine conventionnelle (EPICCA).

Dont l'enquêteur en Mme le Dr Perrine DUMAISON - Unité Post Urgences - CHU Grenoble Alpes

Le Comité examine ces modifications lors de sa séance du 3 novembre 2020. On participe aux délibérations :

- les membres du Collège n°1 :

Category 1 : Mme Lopez (Présidente), Mr Polon (Vice-présidente), Mr Perrin (Vice-président),

Category 3 : Mr Bureau (Suppléant),

Category 4 : Mr Meffert (Vice-président),

- les membres du Collège n°2 :

Category 5 : Mme Martinet (Vice-présidente),

Category 6 : Mme Hamel (Suppléante), Mr Gris (Suppléant),

Category 9 : Mme Bouvier (Suppléante), Mr Gris (Suppléant)

Le Comité a adopté la délibération suivante : AVIS FAVORABLE pour :

Courrier de demande d'avoir (PDF signé + Document WORD)	01/09/2020
Formulaire de demande d'avoir + page de signature	01/09/2020
Protocole + plan de recherche	1.0 du 25/08/2020
Résumé	1.0 du 25/08/2020
Lettre d'information et de non opposition	1.0 du 25/08/2020
Liste des investigateurs	1.0 du 25/08/2020
Cv des investigateurs	N/A
Bureau d'enregistrement RCS	21/08/2020
CRF	1.0 du 25/08/2020

mardi 4 novembre 2020

La Vice-Présidente

Marine BATT

**NP : Le comité demande au promoteur d'apposer les modifications dans un délai de 12 jours à partir du téléchargement de l'avis sur le portail CNRPH. Veuillez, s'il vous plaît, veiller à ce que ces documents ayant fait l'objet des modifications soient provisoirement datés/versés et téléversés sur le site SICN CRPH, complét "réponse". Il convient également de prévenir par mail le CRP concernant la liste des documents remis avec dates et numéros de version.**

**Appendix 7. Notice of the Committee for the Protection of persons – review of protocol on  
March the 1<sup>st</sup> 2022**

**COMITÉ de PROTECTION des PERSONNES EST-III**

Hôpital de Reims, Rue du Morvan - 54511 VANDOEUVRE-LES-NANCY Cedex  
Téléphone : 03 83 15 43 24 - Télécopie : 03 59 62 06 02 - Courriel : cppest@chu-nancy.fr

Sous les références

N°ID-RCP : 2020-A02413-96

N° RPPF : 20.01658.20105

N° CPP : 20.10.05

N°9550

Le Comité a été saisi le 24 janvier 2022 par Mr. Martine SCORBENTINO, Directrice du CHU Grenoble Alpes, représentant le CHU de Grenoble Alpes, promoteur, pour l'examen d'une modification substantielle n°2 apportée au projet de recherche mentionné au 3<sup>e</sup> de l'article L1121-1 du Code de Santé Publique, intitulé :

Intérêt de l'échographie pleuro-pulmonaire dans la prise en charge thérapeutique des patients hospitalisés pour décompensation cardiaque aigüe en service de médecine conventionnelle (EPPICA).

Dont l'investigateur est Mme le Dr Perrine DUMANOR - Unité Triage Urgences - CHU Grenoble Alpes

Le Comité a examiné cette modification substantielle n°7 lors de sa séance du 1<sup>er</sup> mars 2022. Ont participé aux délibérations :

- les membres du Collège n°1 :

Collègue 1 : Mme le Dr Lapensi, M. le Pr Leconte, Mme le Dr Wirth, M. le Pr Wahl, M. le Dr Voisot,

Collègue 2 : M. le Dr Beau

Collègue 3 : M. le Dr Chomé, M. le Dr Péan

Collègue 3 : M. Baroux.

Collègue 4 : M. Pfeiffer, Mme Hertz

- les membres du Collège n°2 :

Collègue 5 : M. le Pr Martinet, Mme Mauss

Collègue 6 : Mme Hambert

Collègue 7 : Mme Oléch, Mme Lievoux

Collègue 8 : Mme Hebing, Mmeche, M. Lareyre, Mme Juppert

Le Comité a adopté la délibération suivante : AVIS FAVORABLE pour la modification substantielle n°2 à savoir :

Courrier de demande d'accès MS2 au CPP (PDF signé + WORD)	10.01.2022	COU
Protocole : Fiche de signature	Y3.0 du 14.12.2021	PRO
Lettre d'information et de non opposition	Y3.0 du 14.12.2021	INF
CRF	Y3.0 du 14.12.2021	CRF
Tableau de l'historique des mises à jour du protocole	Y3.0 du 14.12.2021	DOC
Tableau de comparaison	20.01.2022	COU
Courrier justifiant l'absence de l'NSA	10.01.2022	DOC
Formulaire ID-RCP	11.01.2022	DOC
Cv BEI ALDRIGO Eme	12.01.2022	CV

jeudi 3 mars 2022

La Présidente  
Elisabeth LIPORSKI

*E. Liporski*

NB : Le comité demande au promoteur d'apporter les modifications dans un délai de 12 jours à partir du téléchargement de l'avvis sur le portail CNRPP. Veuillez, si vous plait, veiller à ce que les documents ayant fait l'objet de modifications soient nécessairement datés/verso/nes et téléversés sur le site CNRPP, originale + réponses. Il convient également de prévenir par mail le CPP concernant la date des documents transmis avec dates et numéros de version.

# Le serment d'Hippocrate

Texte revu par l'Ordre des médecins en 2012

**“ Au moment d'être admis(e) à exercer la médecine, je promets et je jure d'être fidèle aux lois de l'honneur et de la probité.**

Mon premier souci sera de rétablir, de préserver ou de promouvoir la santé dans tous ses éléments, physiques et mentaux, individuels et sociaux.

Je respecterai toutes les personnes, leur autonomie et leur volonté, sans aucune discrimination selon leur état ou leurs convictions. J'interviendrai pour les protéger si elles sont affaiblies, vulnérables ou menacées dans leur intégrité ou leur dignité. Même sous la contrainte, je ne ferai pas usage de mes connaissances contre les lois de l'humanité.

J'informerai les patients des décisions envisagées, de leurs raisons et de leurs conséquences.

Je ne tromperai jamais leur confiance et n'exploiterai pas le pouvoir hérité des circonstances pour forcer les consciences.

Je donnerai mes soins à l'indigent et à quiconque me les demandera. Je ne me laisserai pas influencer par la soif du gain ou la recherche de la gloire.

Admis(e) dans l'intimité des personnes, je tairai les secrets qui me seront confiés. Reçu(e) à l'intérieur des maisons, je respecterai les secrets des foyers et ma conduite ne servira pas à corrompre les mœurs.

Je ferai tout pour soulager les souffrances. Je ne prolongerai pas abusivement les agonies. Je ne provoquerai jamais la mort délibérément.

Je préserverai l'indépendance nécessaire à l'accomplissement de ma mission. Je n'entreprendrai rien qui dépasse mes compétences. Je les entretiendrai et les perfectionnerai pour assurer au mieux les services qui me seront demandés.

J'apporterai mon aide à mes confrères ainsi qu'à leurs familles dans l'adversité. Que les hommes et mes confrères m'accordent leur estime si je suis fidèle à mes promesses ; que je sois déshonoré(e) et méprisé(e) si j'y manque.

”

**SECTEUR  
SANTÉ**   
Université Grenoble Alpes